

Национальный исследовательский ядерный университет «МИФИ» Институт ядерной физики и технологий Кафедра физики элементарных частиц №40

Научно-исследовательская работа на тему:

Реконструкция изображения источника на основе данных 32-канального миниПЭТ

Выполнила студентка группы М23-112: Васильева П. Ф.

Научный консультант: Дубинин Ф. А. Научный руководитель: Тетерин П. Е.

Цель



Разработать алгоритм реконструкции изображения по данным 32-канального мини-ПЭТ

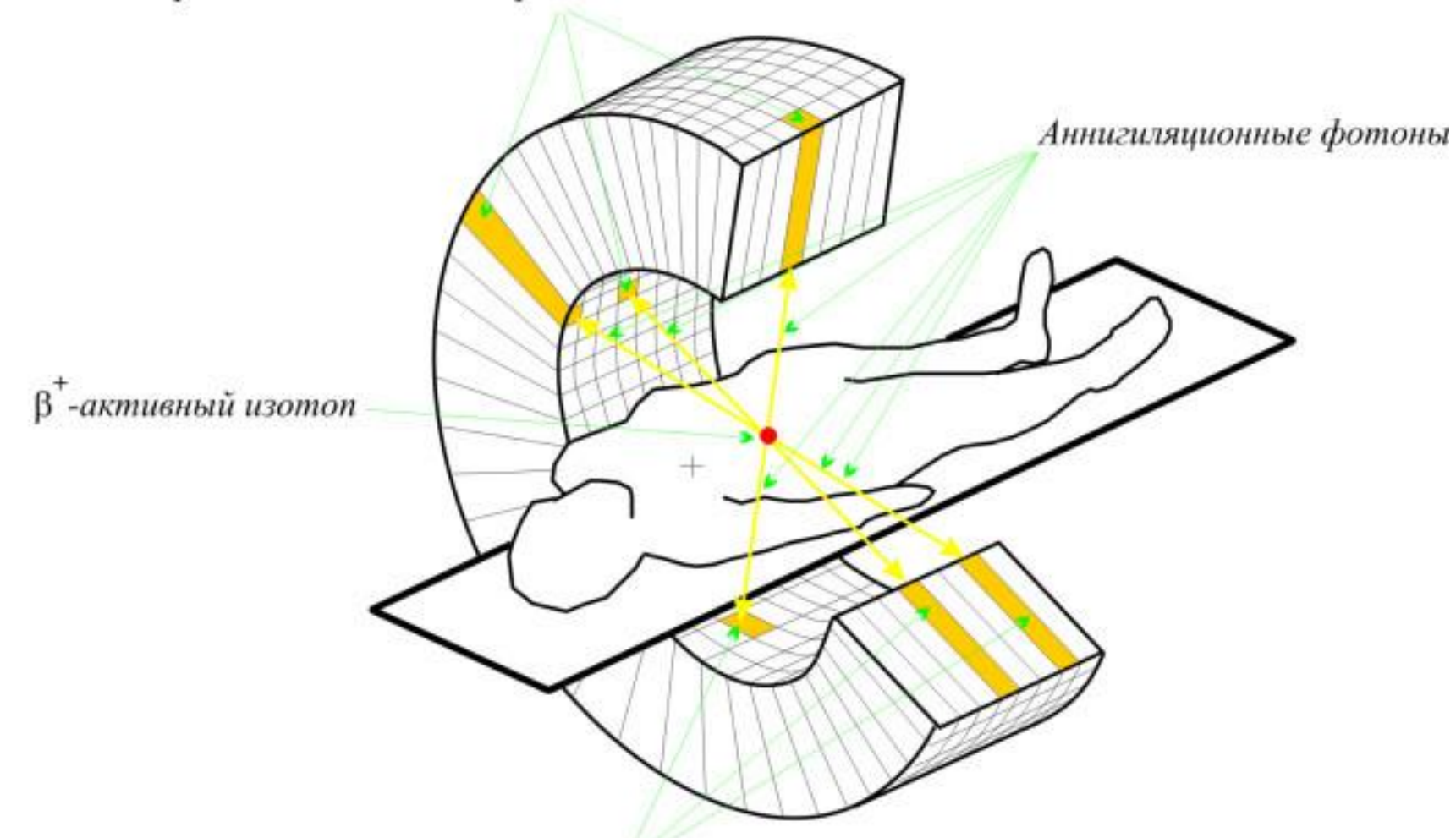
Поставленные задачи

- Проанализировать принцип реконструкции томографического изображения в пакете Matlab
- Подобрать корректные параметры представления данных (синограммы)
- Изучить принципы фильтрации изображения и синограммы в томографии.
- Подобрать оптимальный фильтр данных для 32-канального мини-ПЭТ.

Принцип работы ПЭТ



Сработавшие детекторы



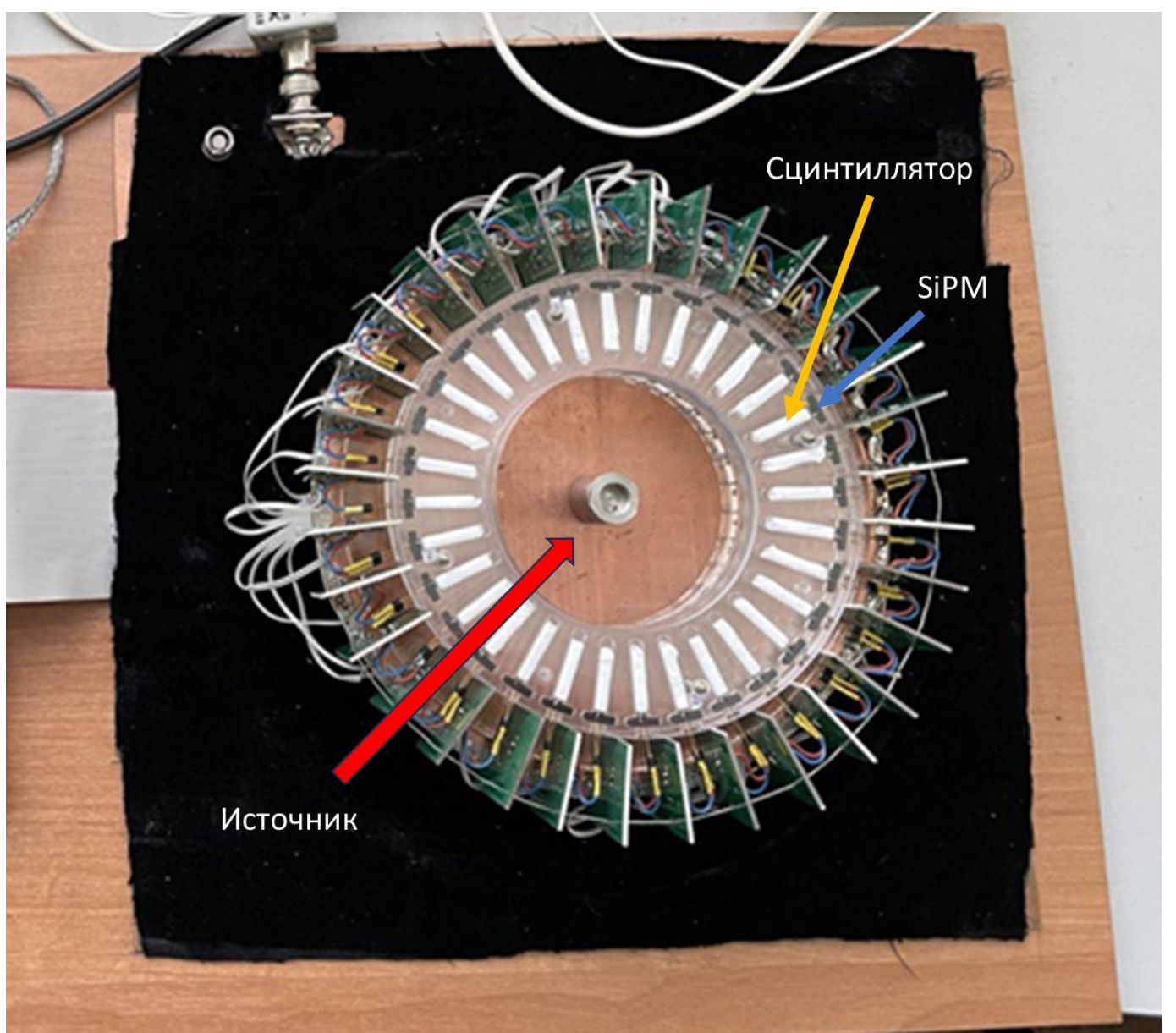
ПЭТ – позитронэмиссионная томография.

Пациенту вводится - активный изотоп, испускающий позитрон.

Позитрон аннигилирует с электроном среды и испускаются два фотона, которые разлетаются на 180°.

Сработавшие детекторы

Макет ПЭТ





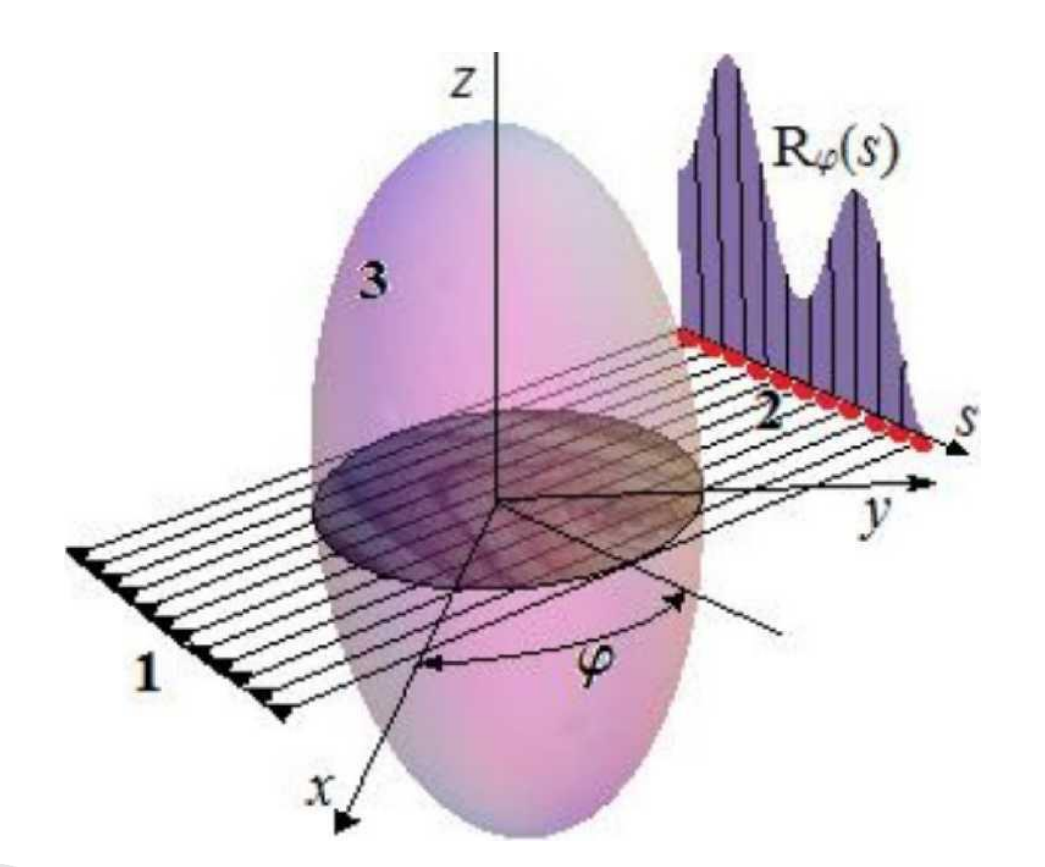
- 32 детектора с шагом в 11.25 градуса
- Сцинтиллятор: GAGG 3x3x20 мм
- SiPM SensL FC30035
- β⁺ источник: Ti-44
- Диаметр источника в оболочке: 7 мм (внутри оболочки ~ 5 мм)



Преобразование Радона

Прямое преобразование. Синограмма

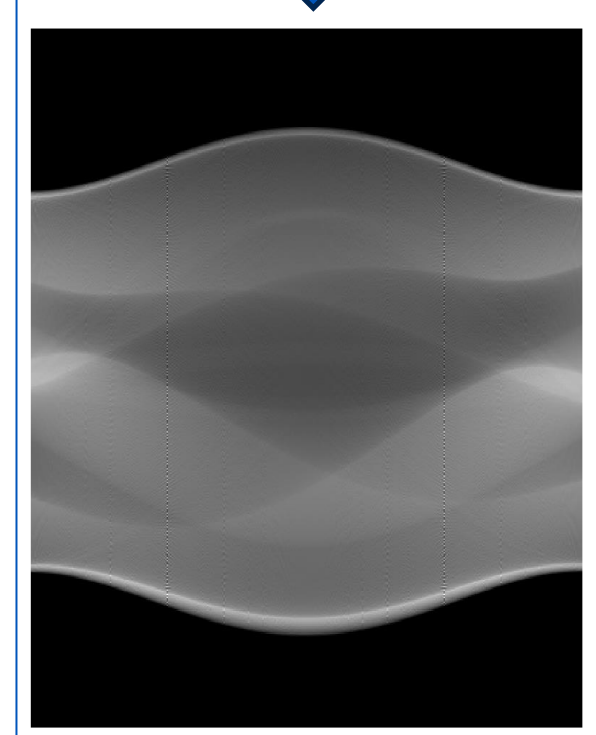
$$R(s,\varphi) = \int_{-\infty}^{+\infty} f(s\cos\varphi - t\sin\varphi, s\sin\varphi + t\cos\varphi)dt$$









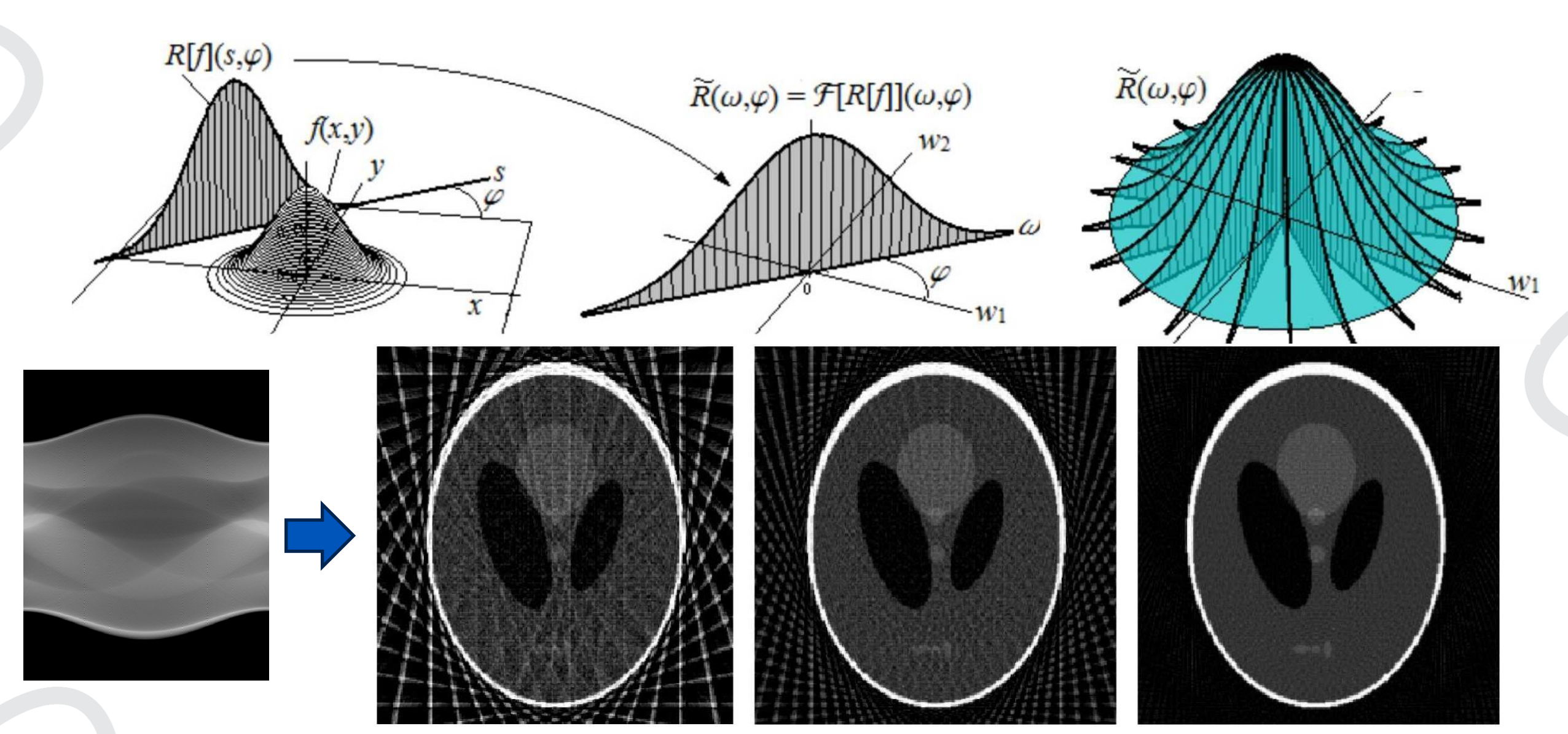


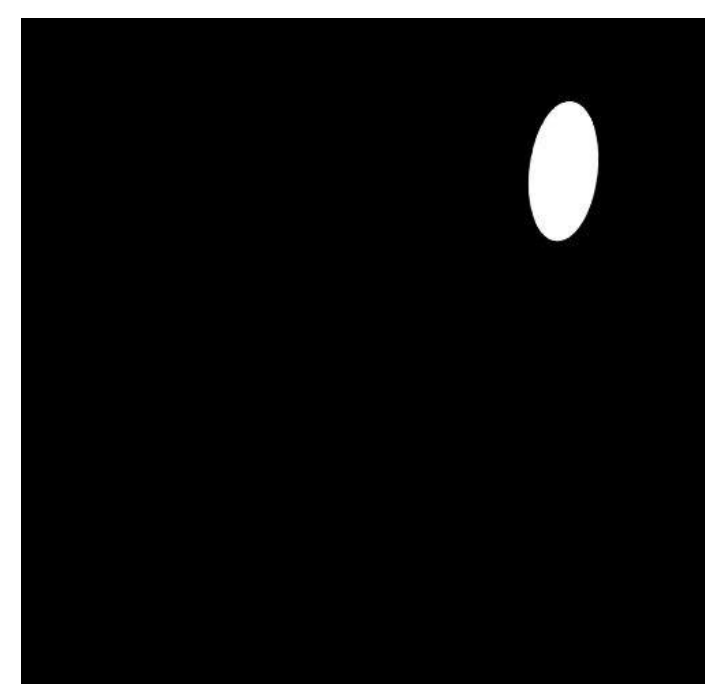
 φ , deg

Преобразование Радона

Обратное преобразование. Томограмма



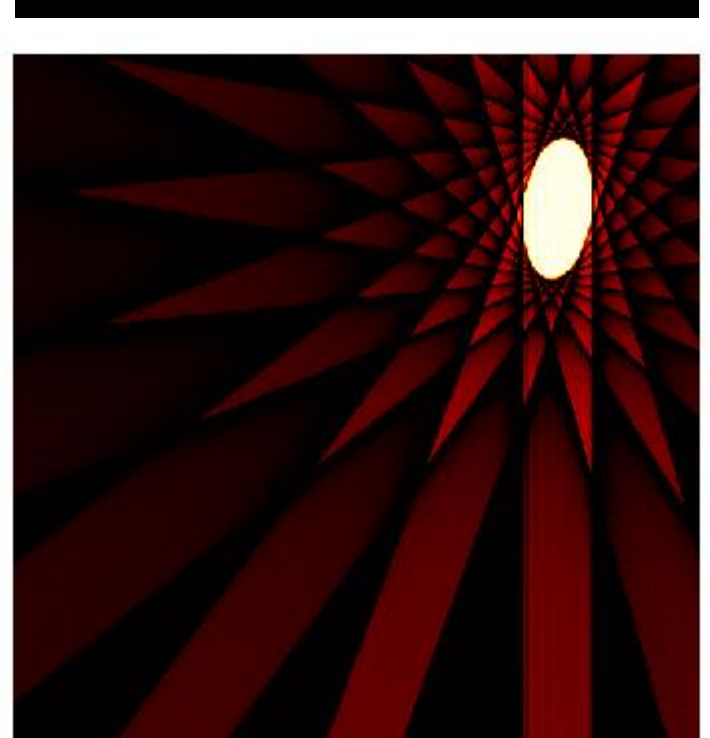


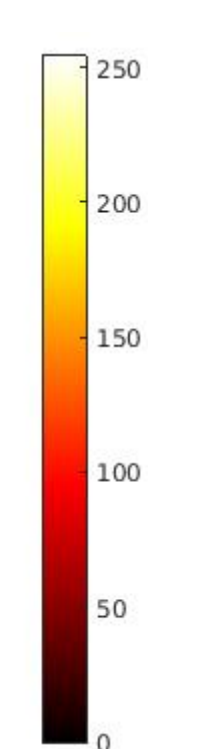


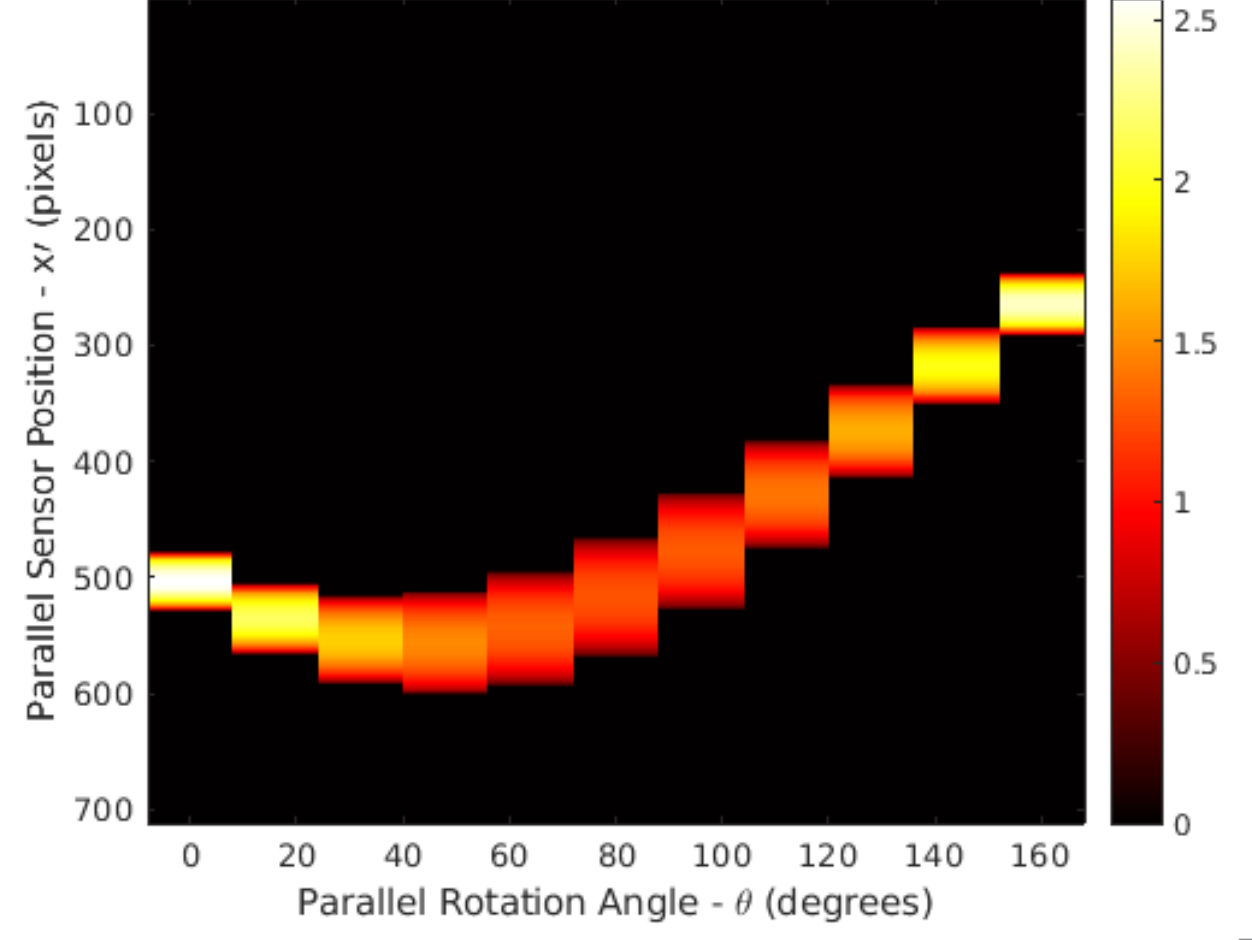


 $\times 10^4$

Пример полного цикла восстановления изображения

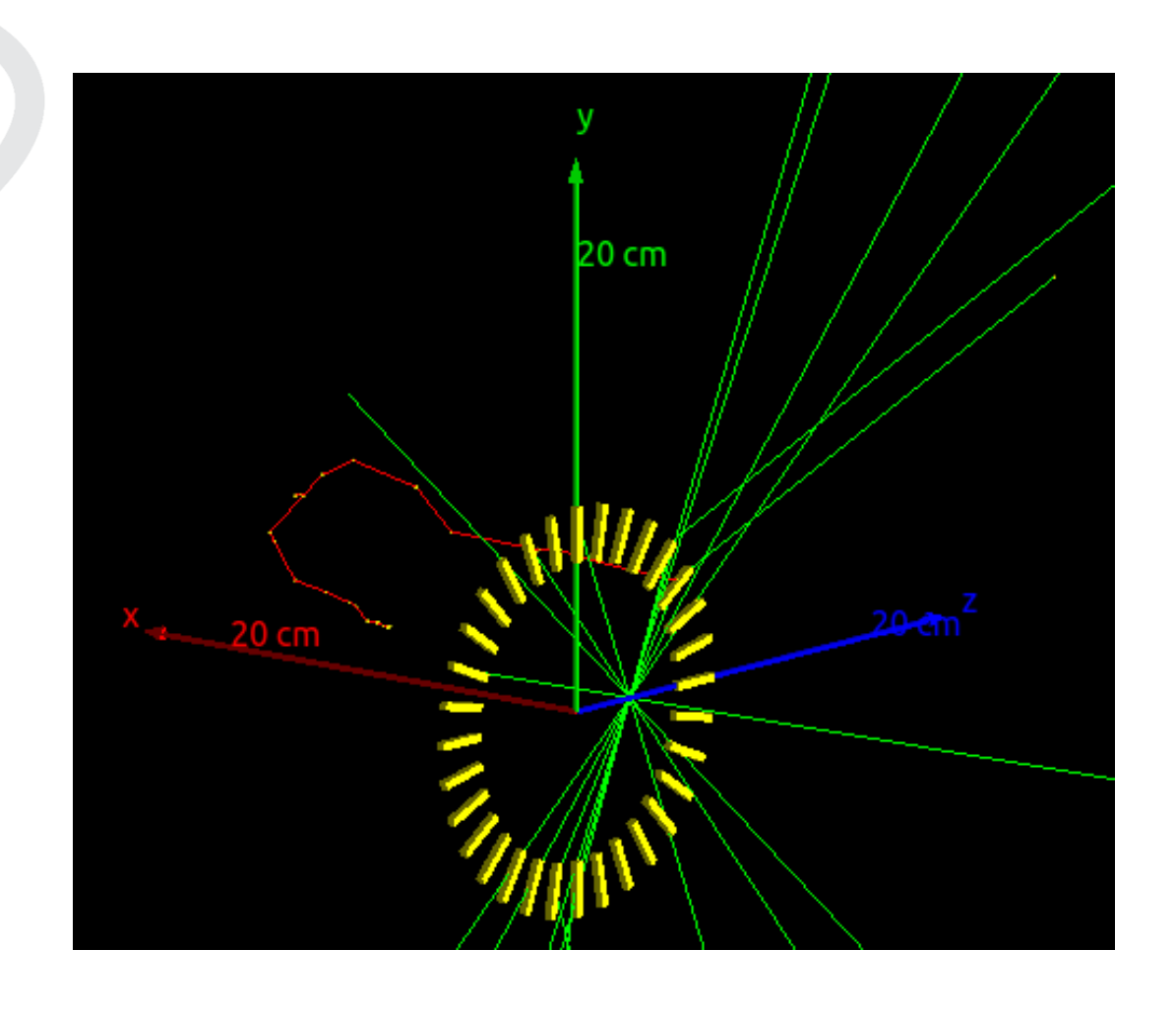


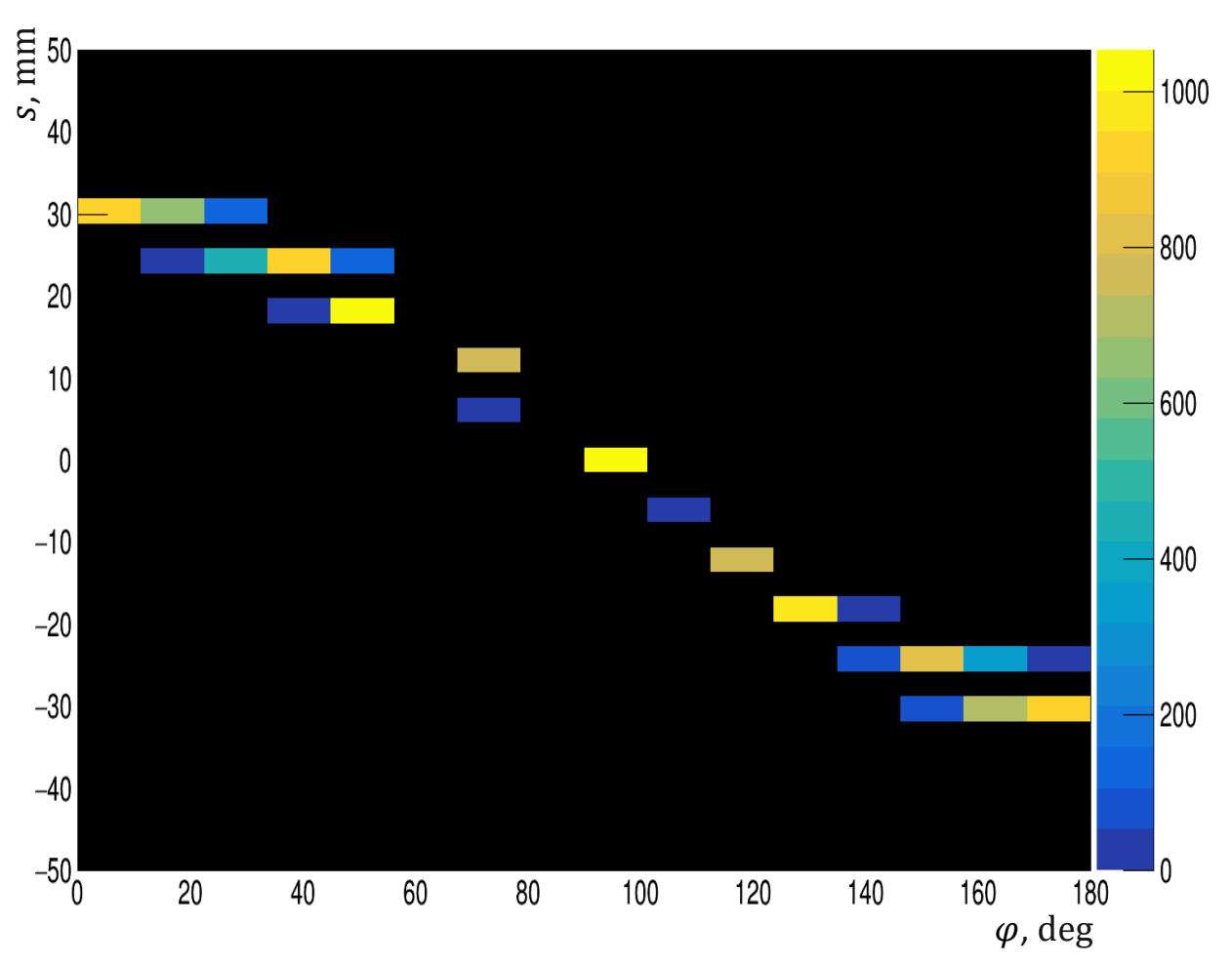












Общие принципы фильтрации синограмм



Фильтрация синограммы выполняется над 2-мерным фурье-образом.

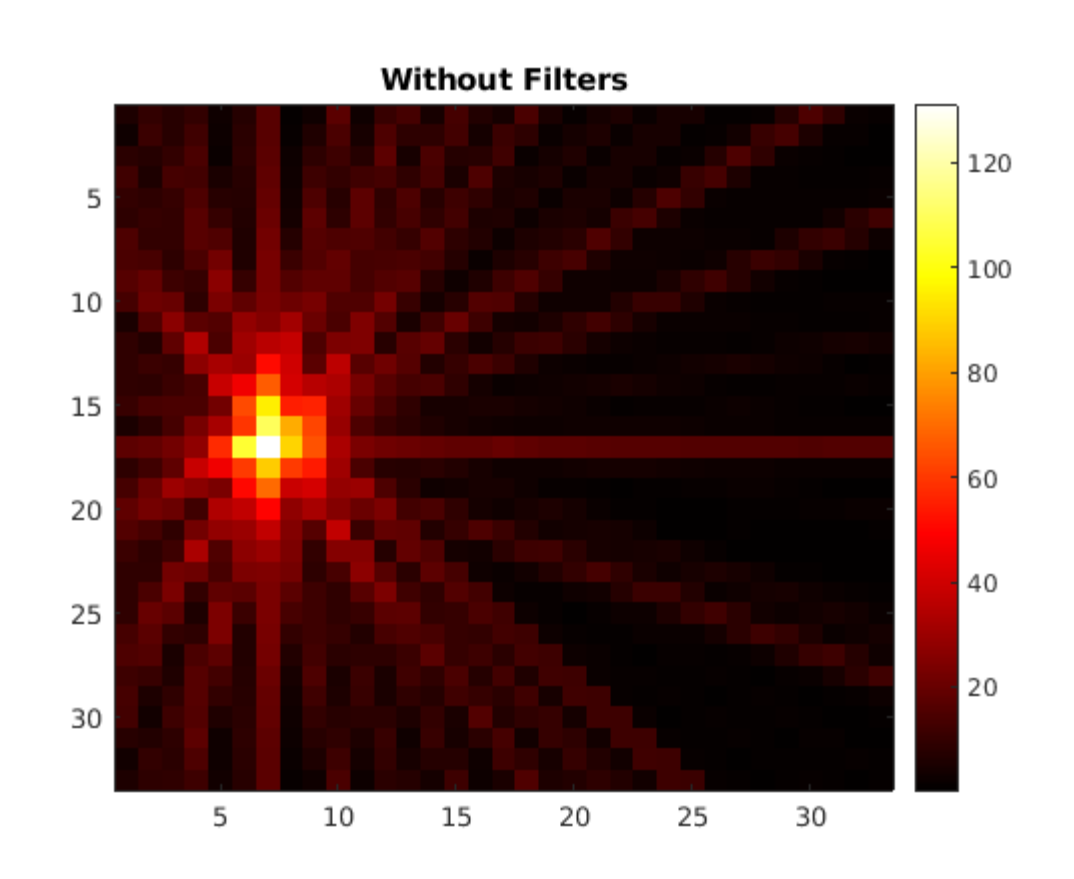
- ▶ Синограмма след одного и того же объекта под разными углами.
- Частотное представление синограммы позволяет усилить или ослабить компоненты, мешающие восприятию.

Встроенные фильтры функции iradon() Matlab:

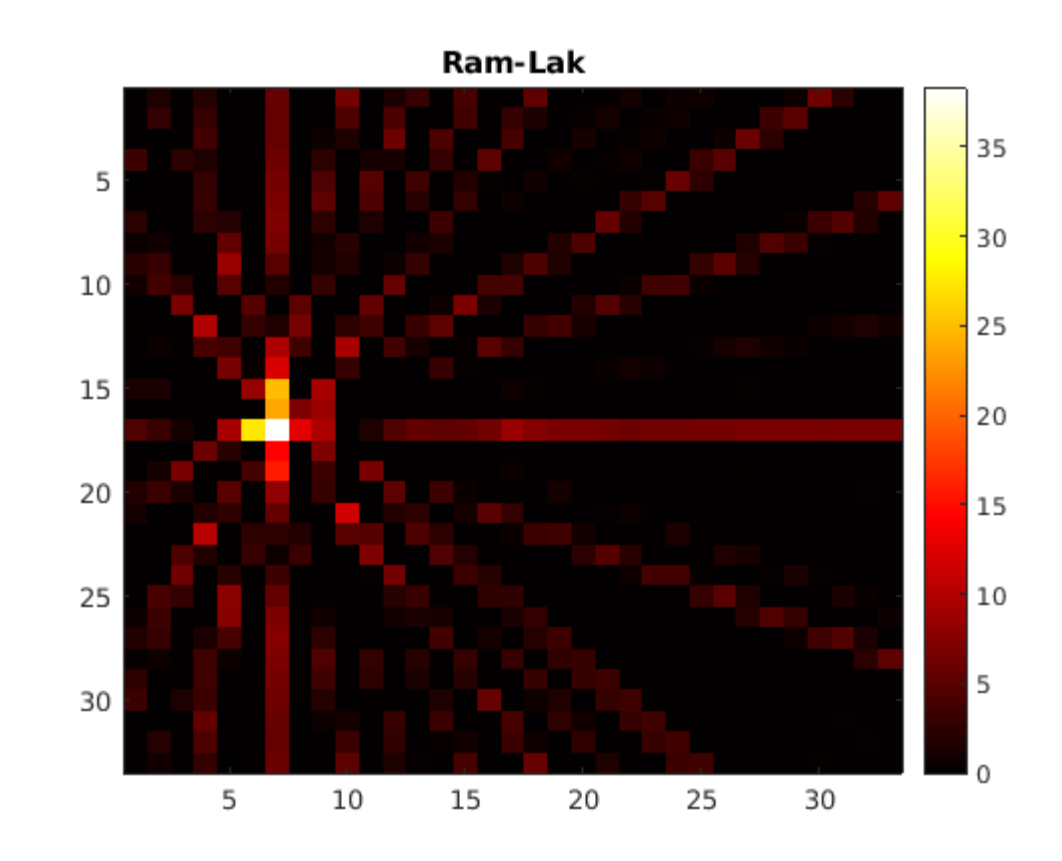
Ra	m-Lak	Shepp-Logan	Cosine	Hamming	Hann			
						Уменьшение		
•						шумов		
						Увеличение		
		i	i		·	резкости		



Моделированные данные в GEANT4. Восстановленное изображение



Восстановленное изображение, без фильтрации синограммы.

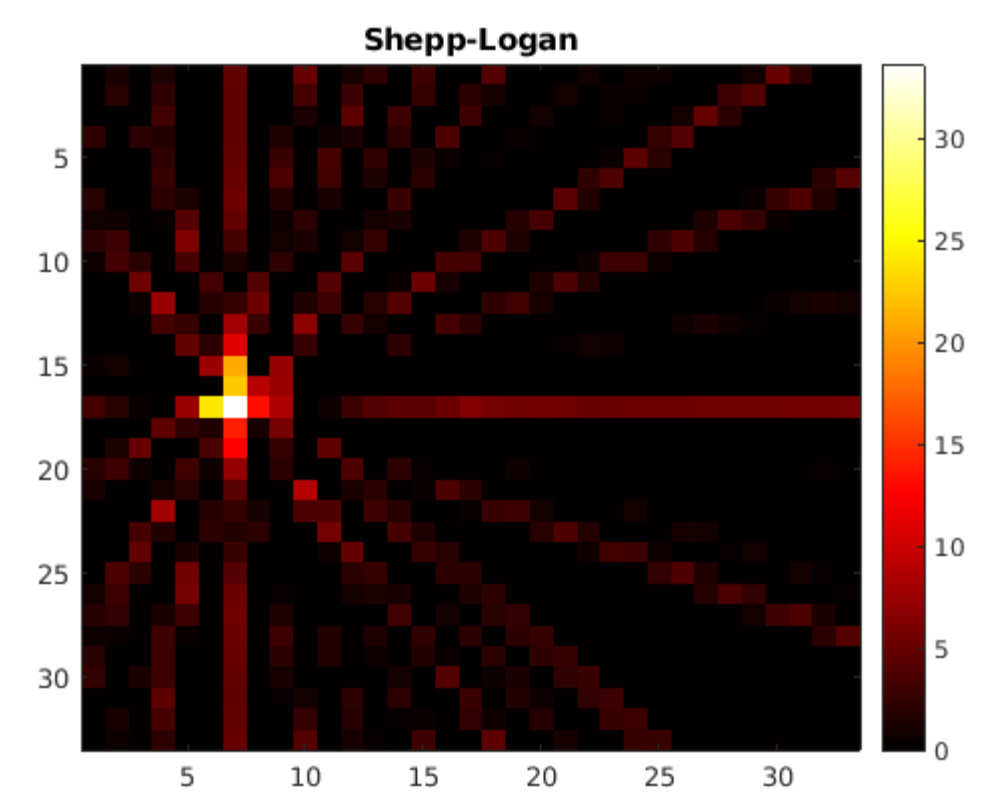


Фильтр Ram-Lak усиливает высокочастотные компоненты в синограммах.

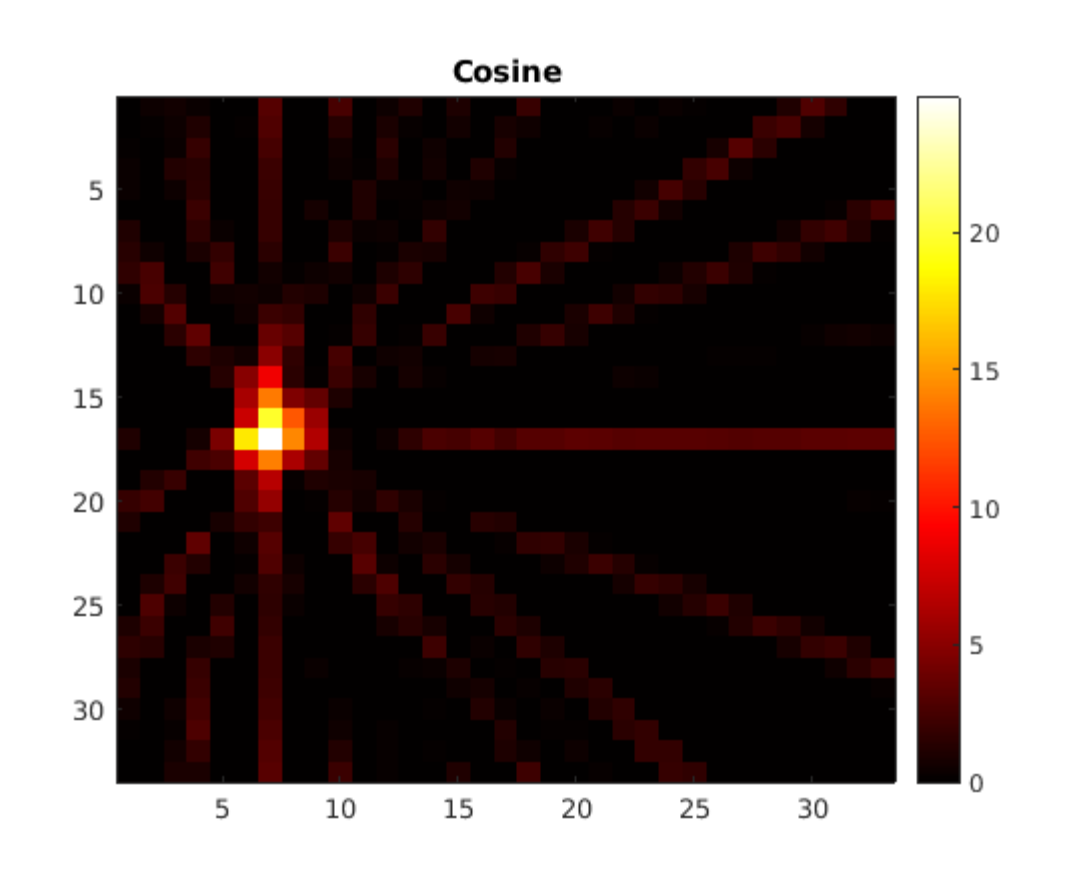


Моделированные данные в GEANT4. Восстановленное изображение

с применением фильтров





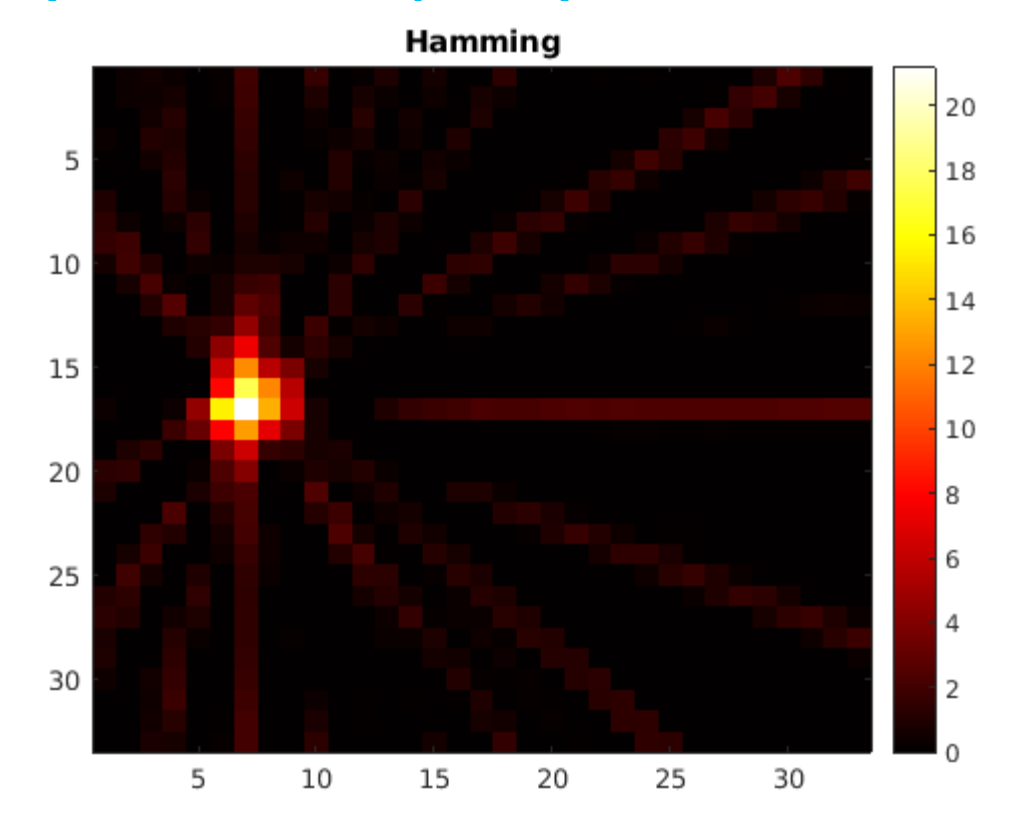


Фильтр Cosine позволяет уменьшить шум и артефакты в реконструируемом изображении, но с меньшей резкостью, чем Shepp-Logan или Ram-Lak.

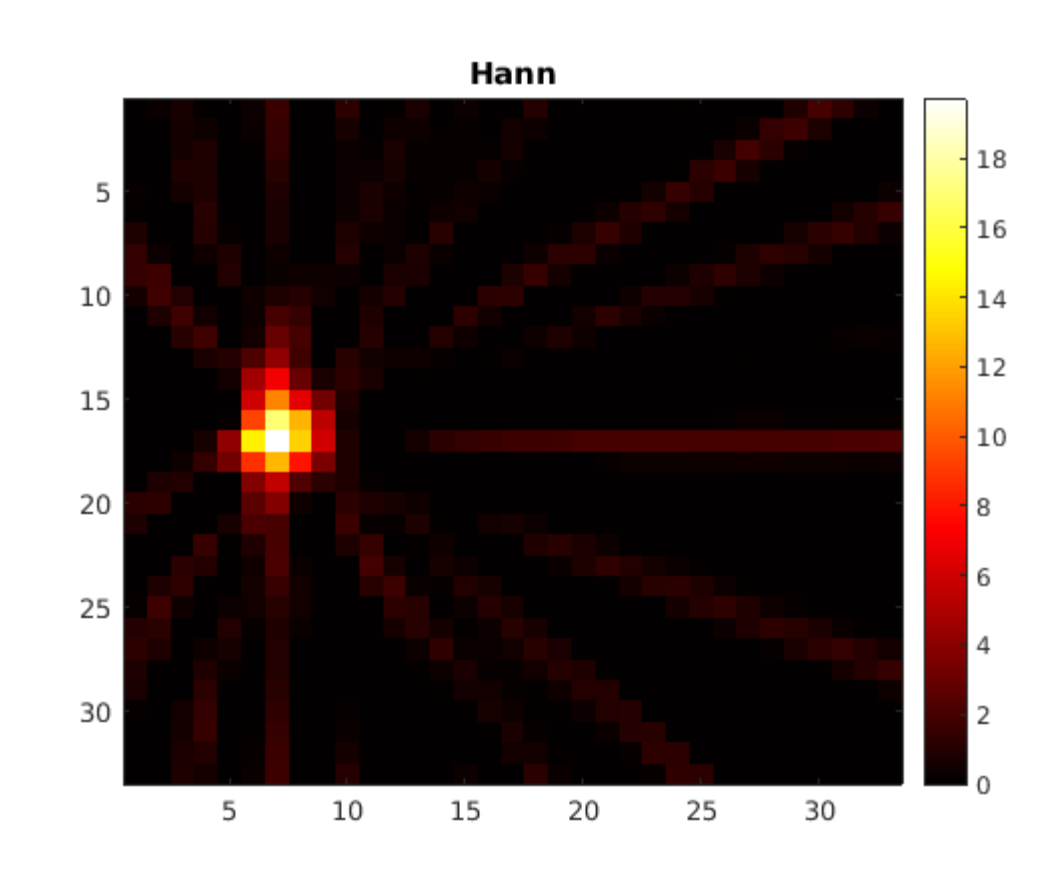


Моделированные данные в GEANT4. Восстановленное изображение

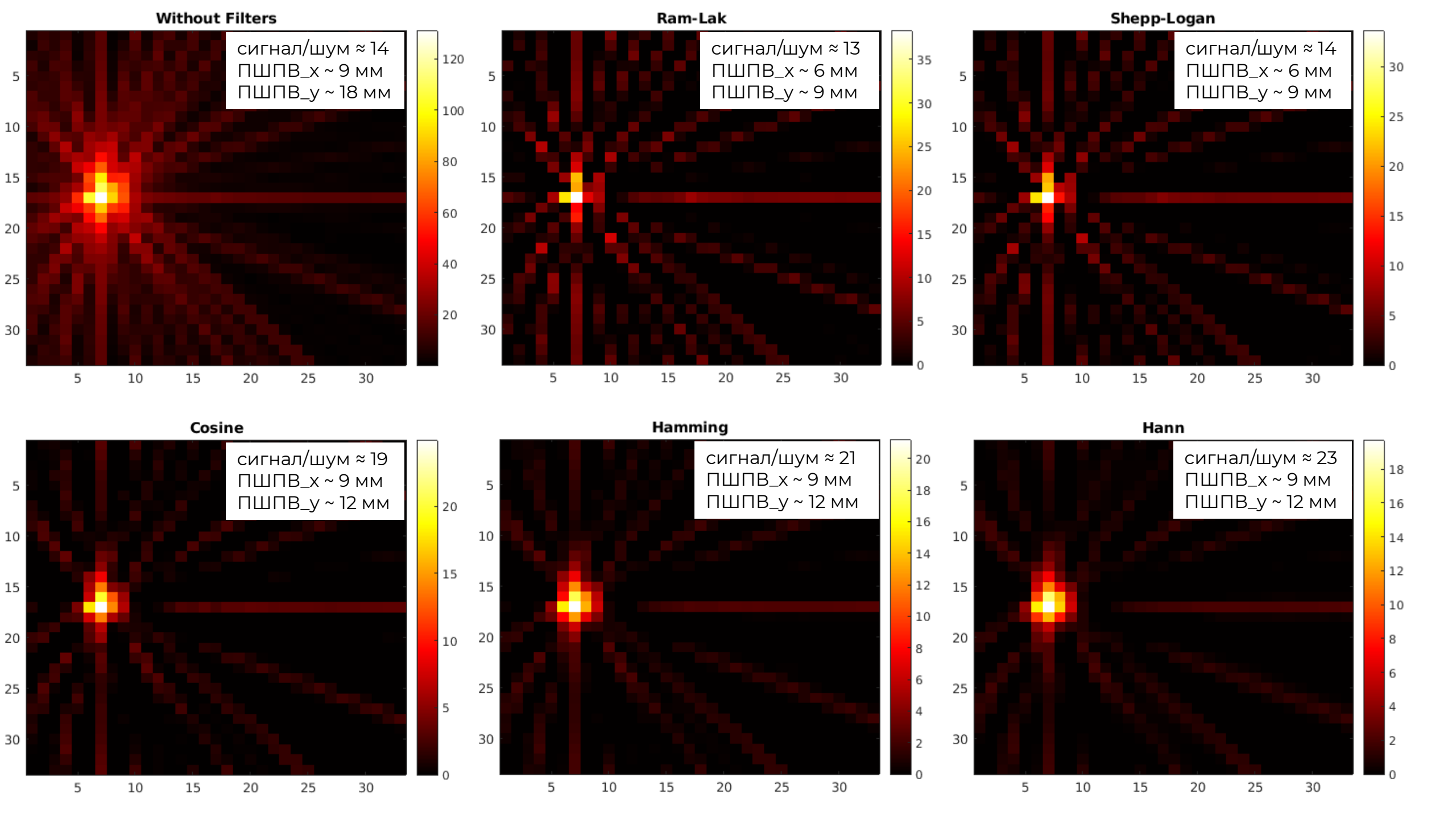
с применением фильтров



Фильтр **Хэмминга** плавно ослабляет высокочастотные компоненты.

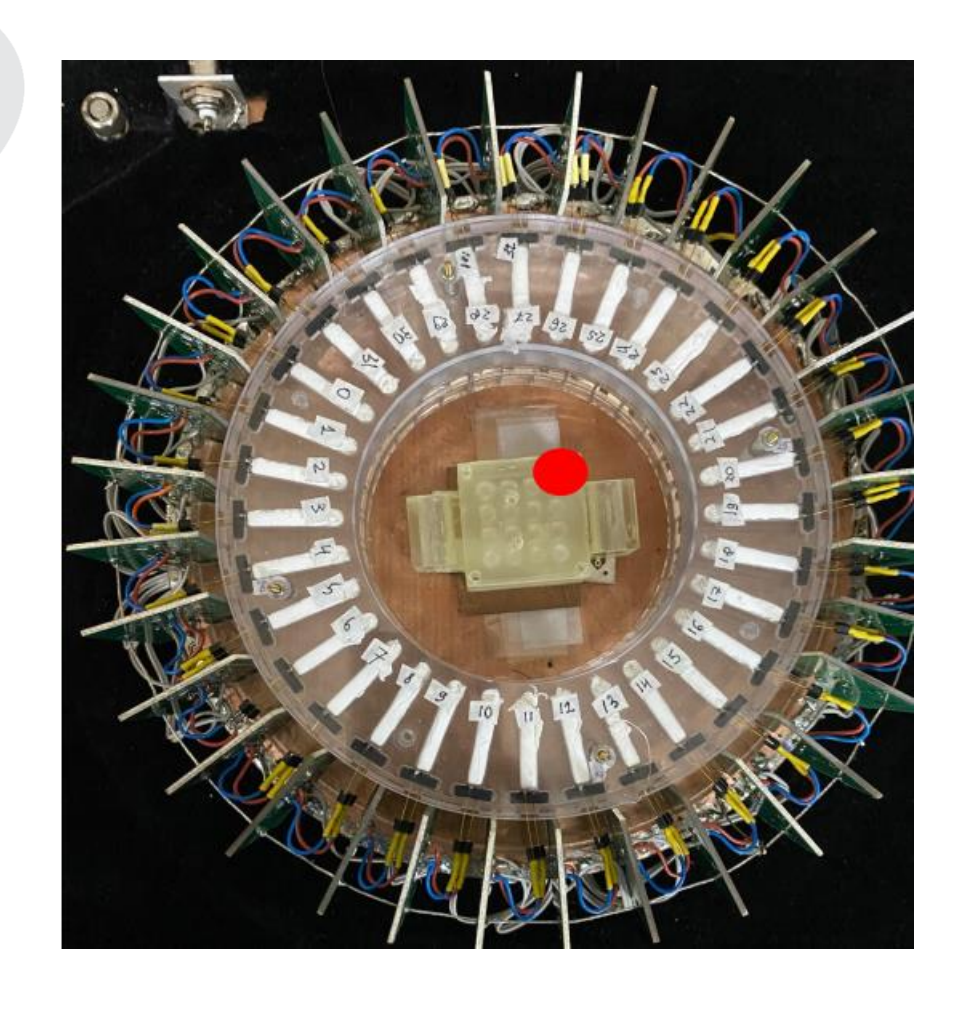


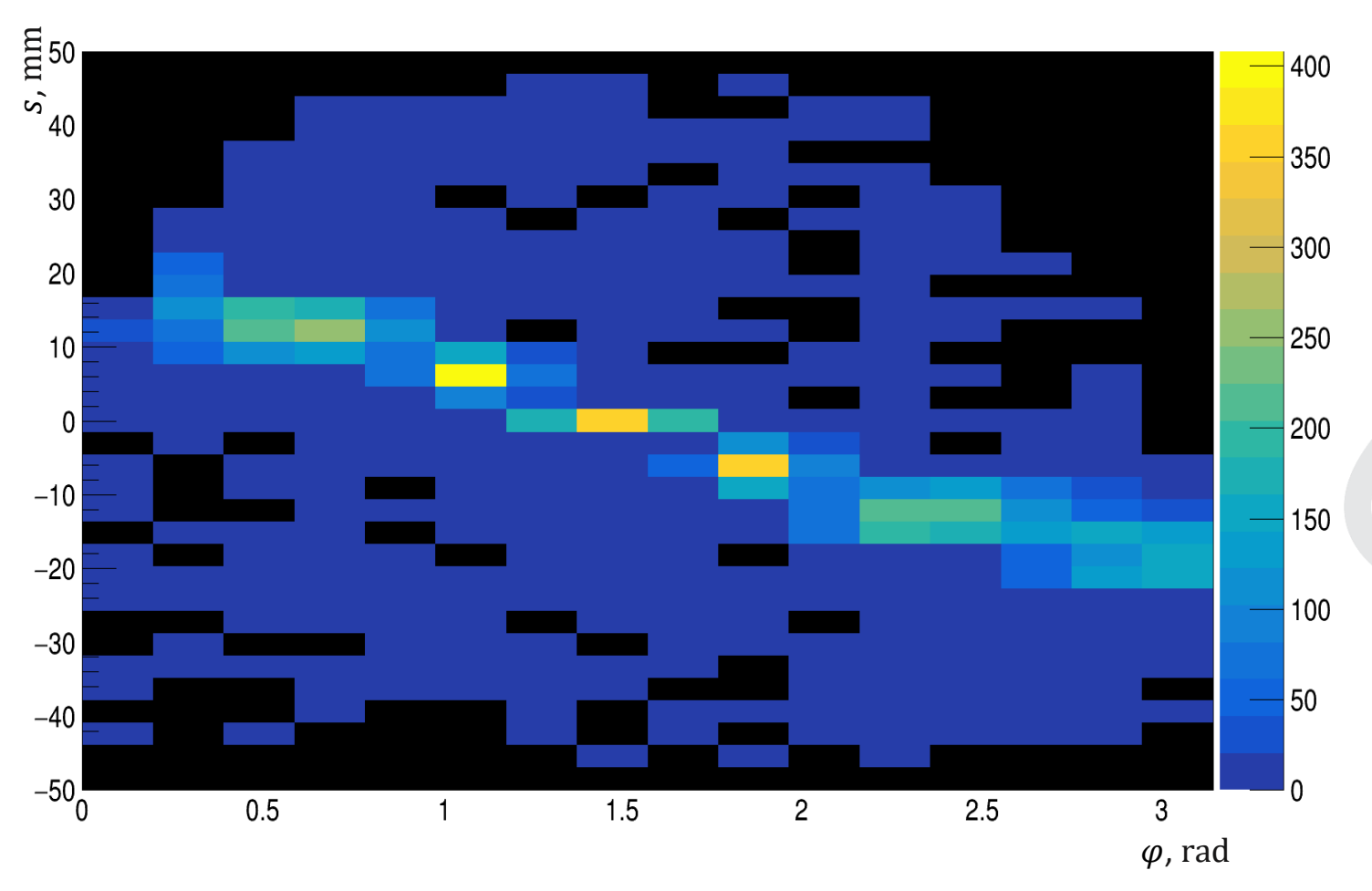
Фильтр **Ханна** похож на фильтр Хэмминга по форме, но имеет иное уравнение.

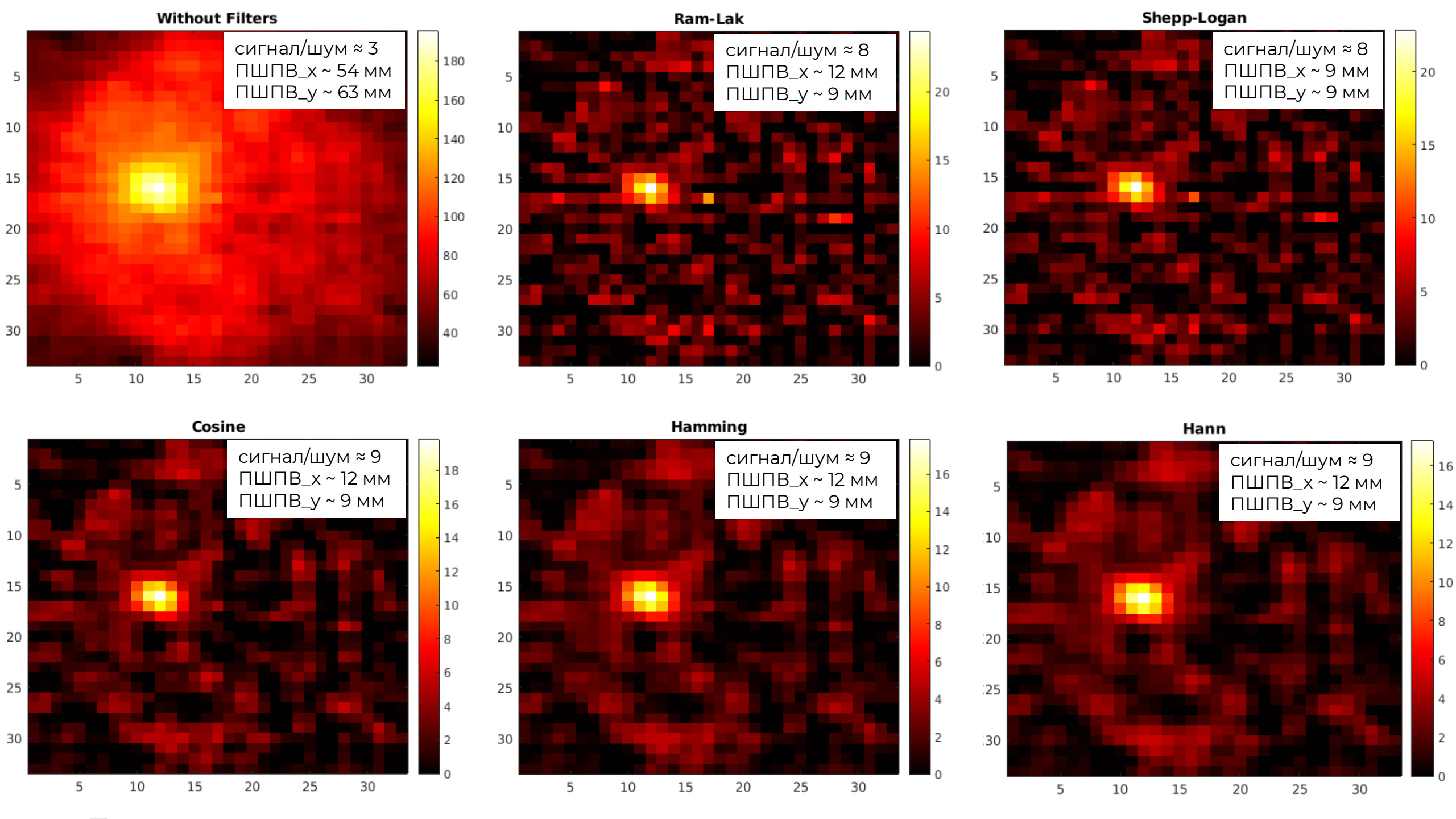


Реальные данные. Синограмма





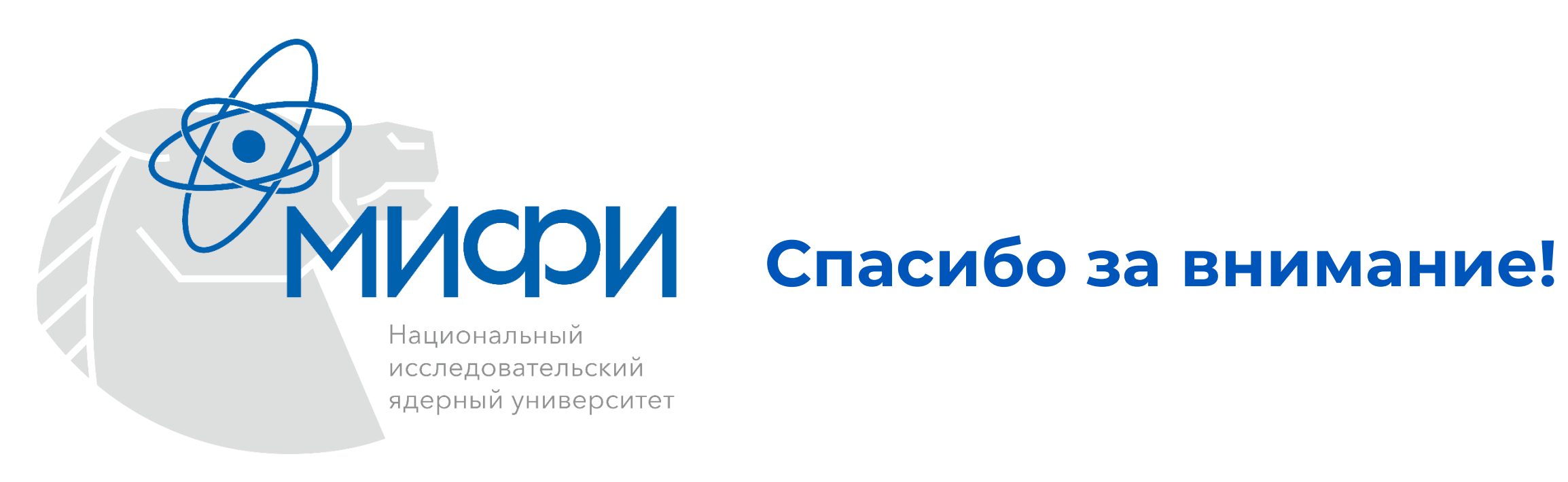




Заключение



- Проанализированы принцип реконструкции томографического изображения в пакете Matlab.
- Подобраны корректные параметры представления данных (синограммы).
- Изучены принципы фильтрации синограммы в томографии.
- Подобраны оптимальные фильтры данных для 32-канального мини-ПЭТ:
 - Для смоделированных данных: фильтр Hann (лучшее соотношение сигнал/шум).
 - Для реальных данных: фильтр Shepp-Logan (наиболее явная локализация источника на изображении, при прочих почти равных параметрах).



Преобразование Радона

нияу МИСРИМ

Математическая постановка задачи

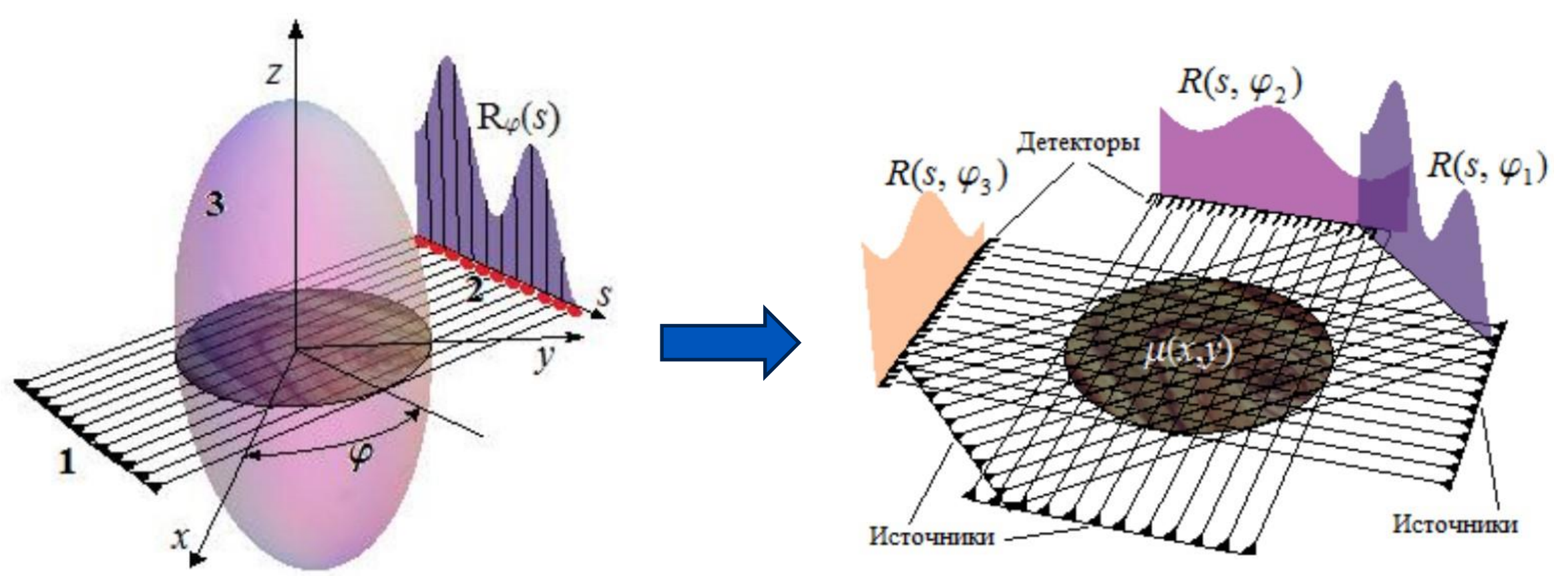


Рис. К.1. Зондирование трехмерного объекта (1 – источники; 2 – детекторы; 3 – объект)

Рис. К.2. Схема получения проекций одного слоя.

Преобразование Радона

Прямое преобразование

• Преобразование Радона:

$$R(s,\varphi) = \int_{-\infty}^{+\infty} f(s\cos\varphi - t\sin\varphi, s\sin\varphi + t\cos\varphi)dt$$

- функция двух действительных переменных.
- Физический смысл состоит в том, что функция функция яркости точки, которая преобразуется в некую функцию, которая в свою очередь является интегральной яркостью точек в направлении.
- Геометрический смысл преобразования Радона состоит в том, что это интегралы от функции вдоль прямых, перпендикулярных вектору, проходящих на расстоянии (измеренном вдоль вектора с соответствующим знаком) от начала координат.



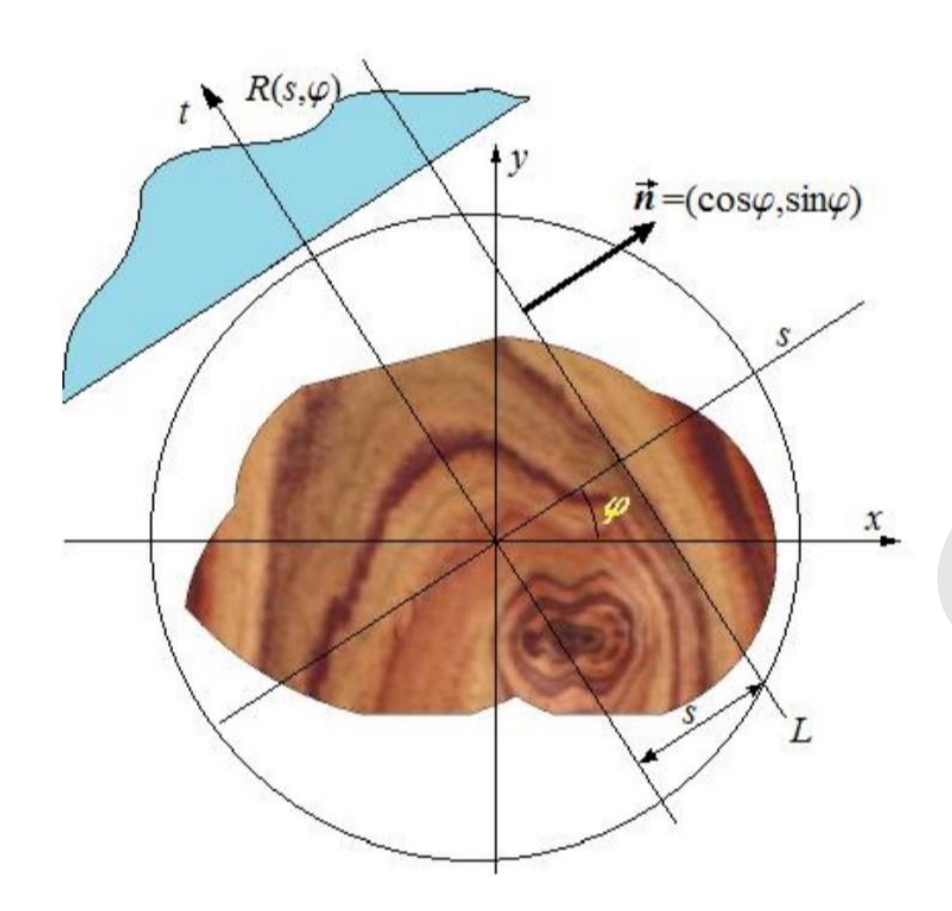


Рис. 5. К преобразованию Радона функции двух переменных.

Обратное преобразование Радона



Математическая постановка задачи

$$F(w_1, w_2) = \frac{1}{2\pi} \iint_{-\infty}^{\infty} f(x, y) e^{-i(w_1 x + w_2 y)} dx dy$$

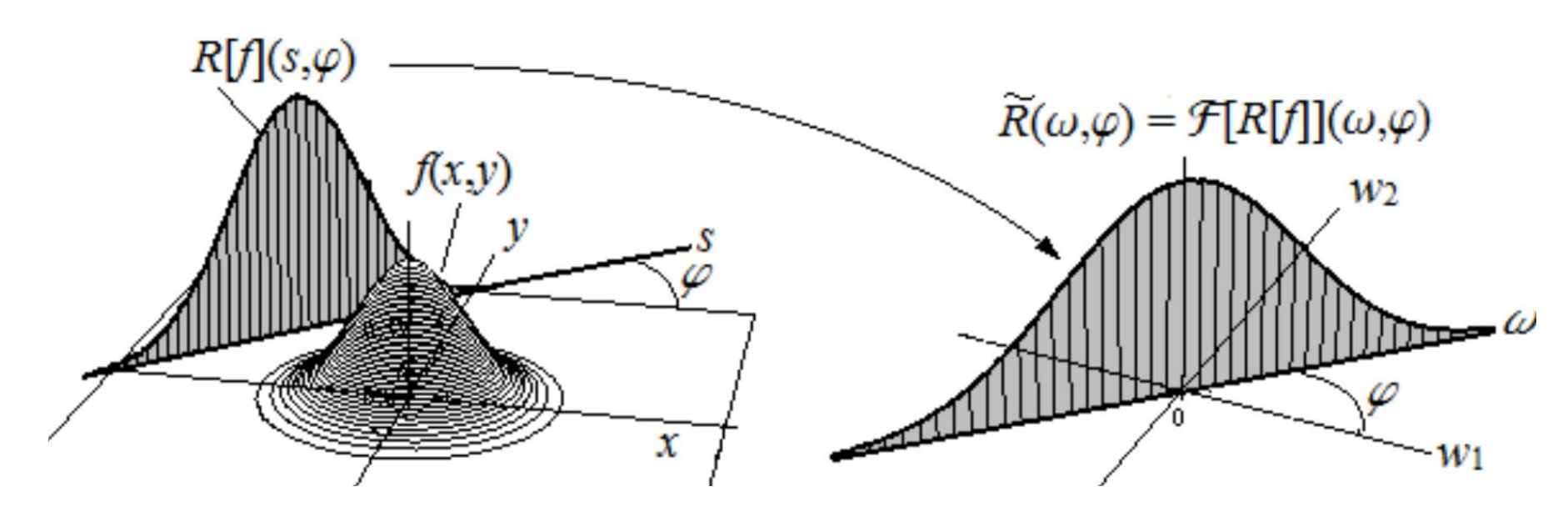
$$f(x,y) = \frac{1}{2\pi} \iint_{-\infty}^{\infty} F(w_1, w_2) e^{-i(w_1 x + w_2 y)} dw_1 dw_2$$

Прямое преобразование Фурье от 2х переменных.

Обратное преобразование Фурье от 2х переменных.

$$R(s,\varphi) = \int_{-\infty}^{+\infty} f(s\cos\varphi - t\sin\varphi, s\sin\varphi + t\cos\varphi)dt$$

Прямое преобразование Радона



Обратное преобразование Радона



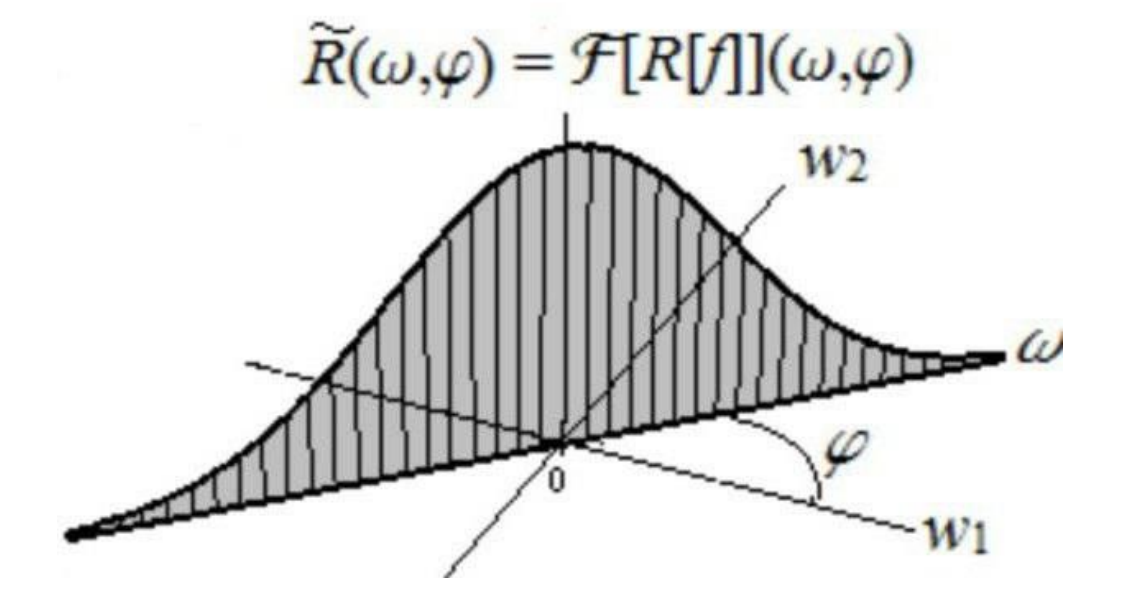
Математическая постановка задачи. Продолжение

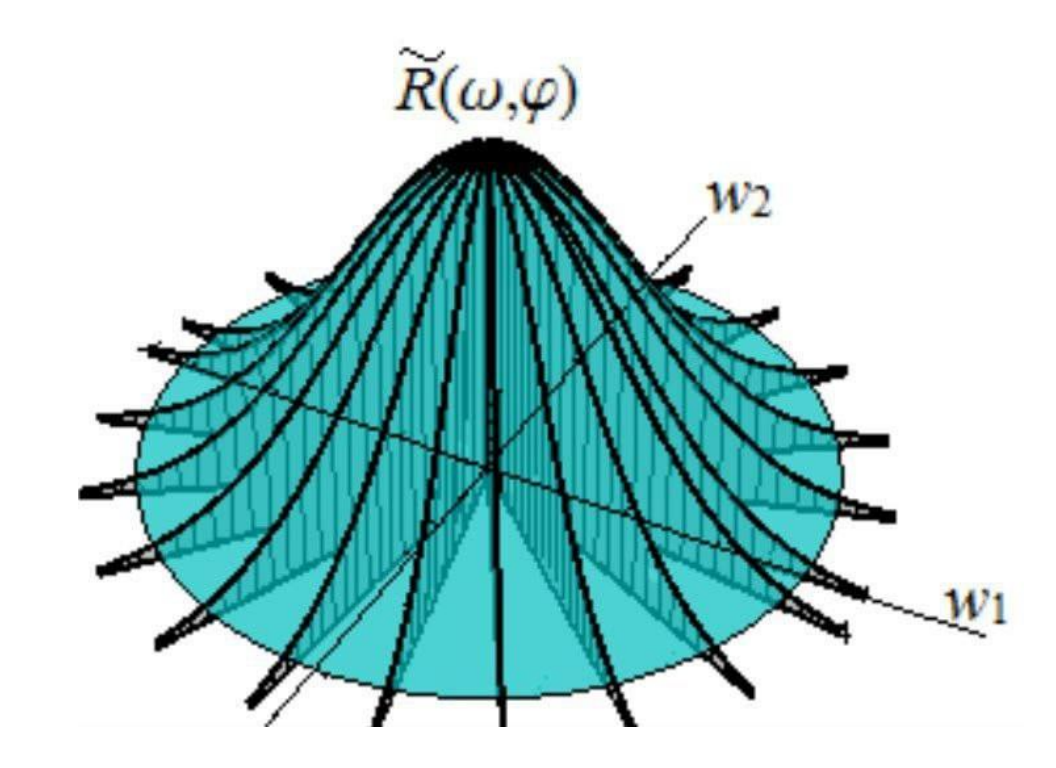
$$w_1x + w_2y = s$$

$$xcos(\varphi) + ysin(\varphi) = s$$



$$F(w_1, w_2) = \frac{1}{2\pi} \iint_{-\infty}^{\infty} R[f](s, \varphi) e^{-i\omega s} ds = \frac{1}{\sqrt{2\pi}} \tilde{R}(\omega, \varphi)$$





Методы фильтрации



Фильтр Ram-Lak усиливает высокочастотные компоненты в синограммах, что критично для сохранения информации о краях и деталях изображения. В частотной области его можно выразить следующим образом:

$$H(f) = |f|$$

где H(f) — это передаточная функция фильтра, а f— частота.

Фильтр Cosine позволяет уменьшить шум и артефакты в реконструируемом изображении. Он может быть представлен в частотной области как:

$$H(f) = \begin{cases} 1, & |f| \le 0.5\\ \frac{1}{2} (1 + \cos(\pi(|f| - 0.5))), & 0.5 < |f| < 1\\ 0, & |f| \ge 1 \end{cases}$$

Фильтр Shepp-Logan усиливает высокочастотные компоненты для улучшения резкости и контрастности изображения, сохраняя при этом низкие частоты, что помогает избежать чрезмерного усиления шума.

Формула:

рормула:
$$H(f) = \begin{cases} 1, & |f| \leq 0.5 \\ \frac{1}{2} \left(1 + \cos \left(\frac{\pi}{2} (|f| - 0.5) \right) \right), & 0.5 < |f| < 1 \\ 0, & |f| \geq 1 \end{cases}$$

Это означает, что фильтр полностью пропускает частоты до 0.5 и постепенно ослабляет частоты от 0.5 до 1.

Методы фильтрации



Фильтр **Хэмминга** имеет форму, которая плавно ослабляет высокочастотные компоненты, что помогает уменьшить шум и артефакты в изображениях. В частотной области фильтр Хэмминга может быть представлен как:

$$H(f) = 0.54 - 0.46 \cdot \cos 2\pi f$$

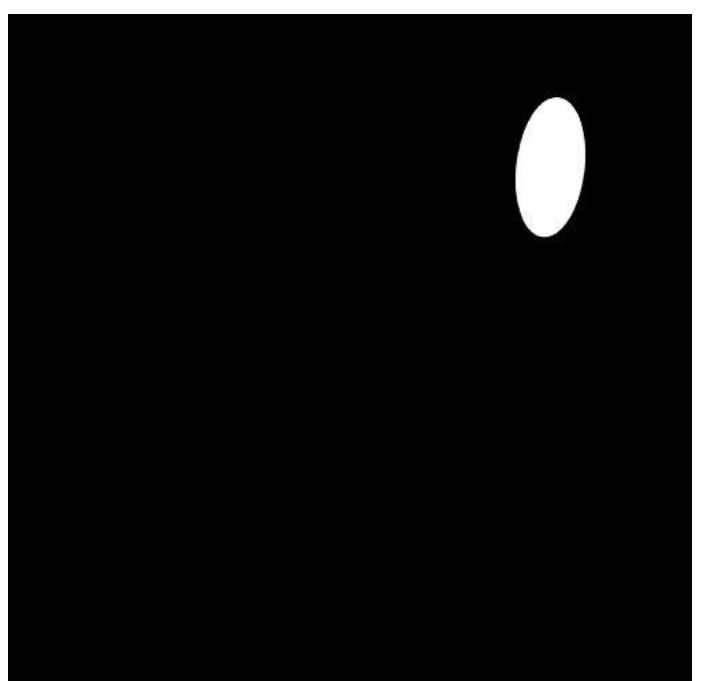
Фильтр **Ханна** похож на фильтр Хэмминга по форме, так же является оконным фильтром, но имеет иное уравнение.

В частотной области фильтр Ханна может быть представлен как:

$$H(n) = 0.5 \left(1 - \cos\left(\frac{2\pi n}{N-1}\right)\right), \qquad n = 0,1,2,...,N-1$$

где *N*— это длина окна.

• Эти фильтры эффективно подавляют высокочастотные компоненты, что делает их полезными для уменьшения шумов.

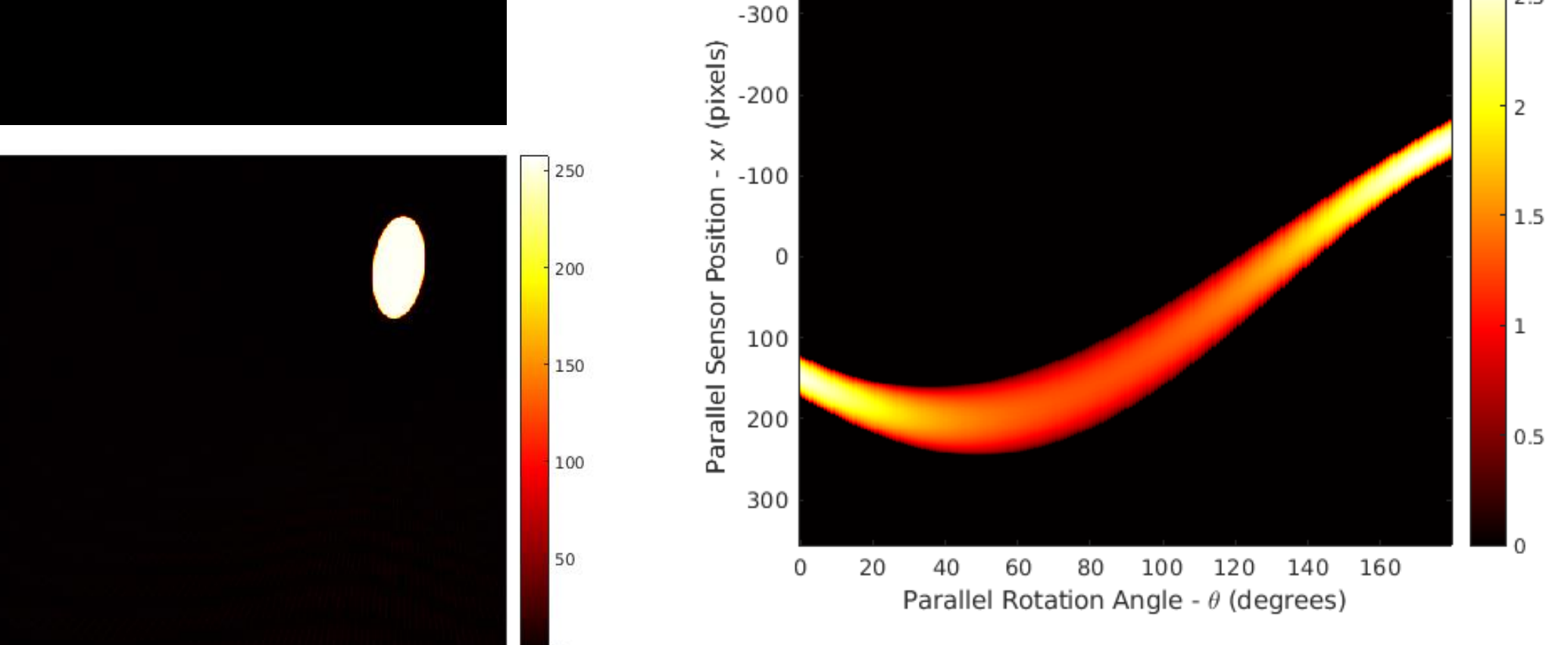




 $\times 10^4$

2.5

Пример полного цикла восстановления изображения. 180 проекций



Методы фильтрации. Преимущества и недостатки (доп)



Преимущества: Фильтр Ram-Lak обеспечивает хорошую резкость и контрастность в реконструируемом изображении, что делает его популярным выбором в медицинской визуализации.

Недостатки: Он может усиливать шум, особенно в областях с низкой интенсивностью сигнала, что может привести к артефактам в изображении.

Преимущества: Фильтр **Shepp-Logan** обеспечивает хорошую резкость и контрастность, а также помогает уменьшить артефакты, связанные с шумом, по сравнению с фильтром Ram-Lak.

Недостатки: В некоторых случаях он может не обеспечивать такую же резкость, как фильтр Ram-Lak, особенно в областях с высокими частотами.

Преимущества: Фильтр **Cosine** может быть полезен для уменьшения артефактов и шума в изображениях, обеспечивая при этом приемлемую резкость. Недостатки: Он может не обеспечивать такую же резкость, как фильтры Ram-Lak или Shepp-Logan, особенно в областях с высокими частотами.

Преимущества: Фильтр **Хэмминга** помогает уменьшить шум и артефакты в изображениях, обеспечивая при этом приемлемую резкость. Он может быть особенно полезен в случаях, когда данные содержат значительное количество шума. Недостатки: Хотя фильтр Хэмминга хорошо справляется с шумом, он может не обеспечивать такую же резкость, как фильтры Ram-Lak или Shepp-Logan, особенно в областях с высокими частотами.

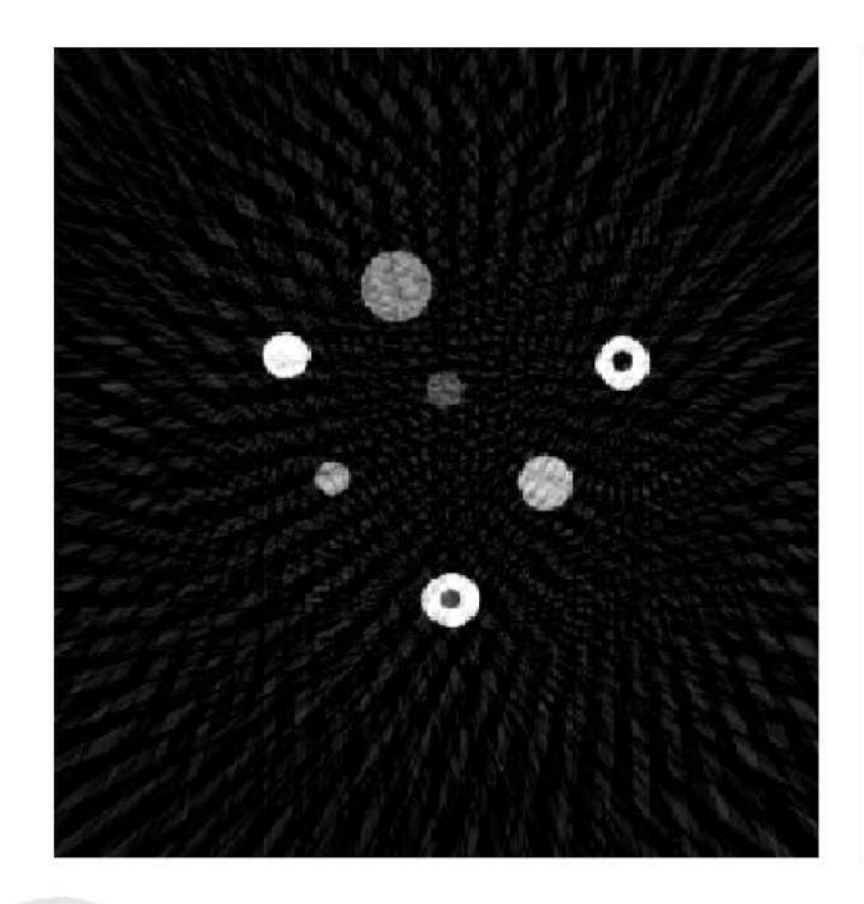
Преимущества: Фильтр **Ханна** помогает уменьшить шум и артефакты в изображениях, обеспечивая при этом приемлемую резкость. Он может быть особенно полезен в случаях, когда данные содержат значительное количество шума. Недостатки: Хотя фильтр Ханна хорошо справляется с шумом, он может не обеспечивать такую же резкость, как фильтры Ram-Lak или Shepp-Logan, особенно в областях с высокими частотами.

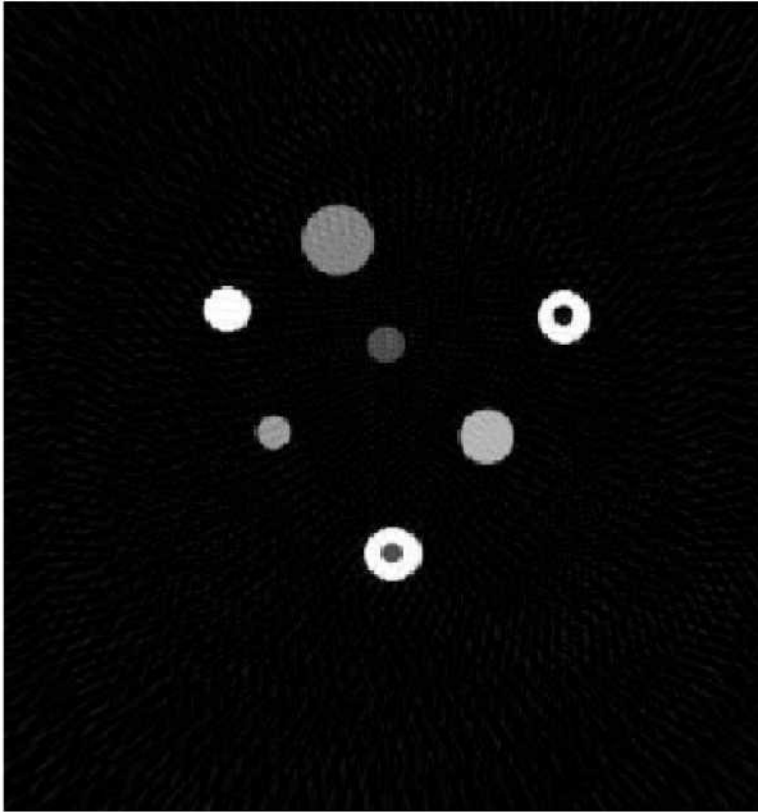
Обратное преобразование Радона

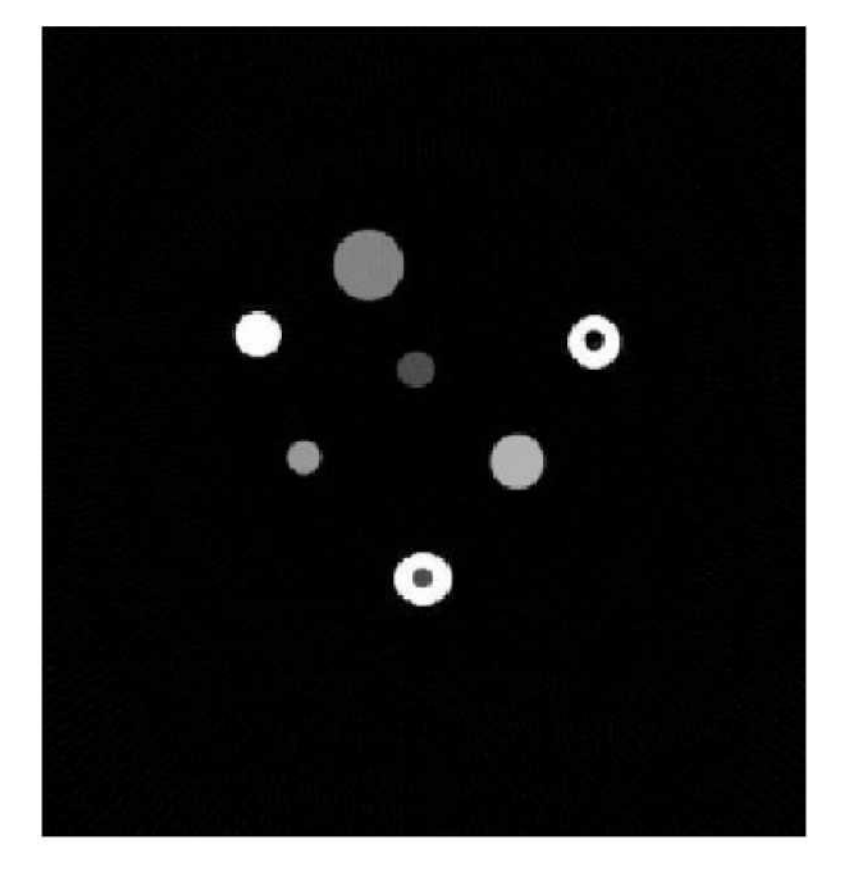
Пример получения томограммы (реальное изображение)

Восстановленное изображение (томограмма) для 36 проекций (слева), 90 проекций (по центру) и 180 проекций (справа)









Позитронно-эмиссионная томография (ПЭТ)



Реальные примеры использования ПЭТ

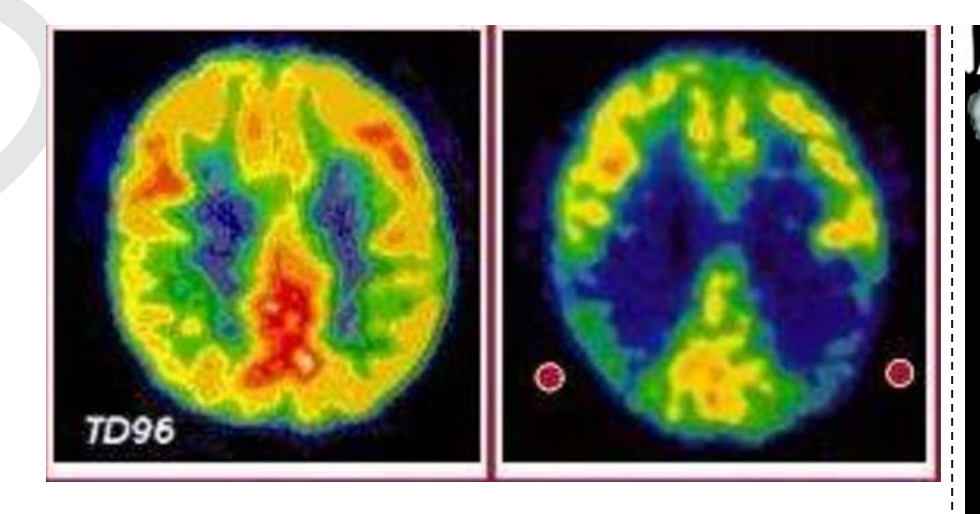
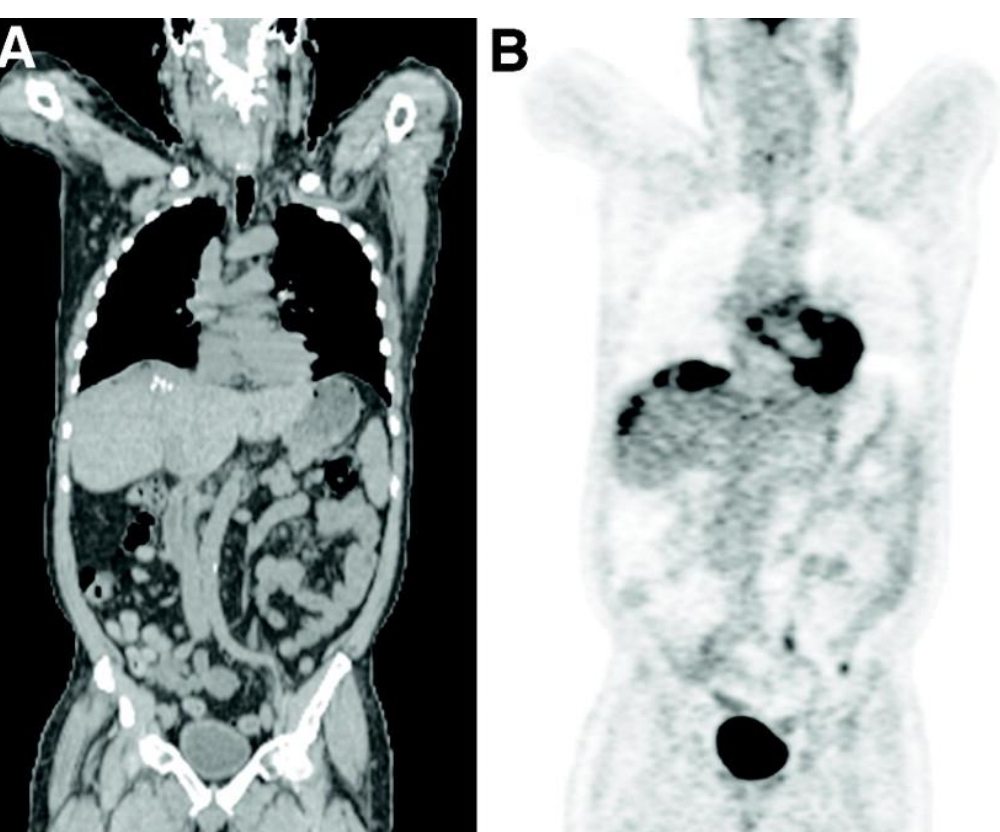


Рис. 2. ПЭТ-изображение:

- Здорового мозга (слева)
- Болезнь Альцгеймера (справа)



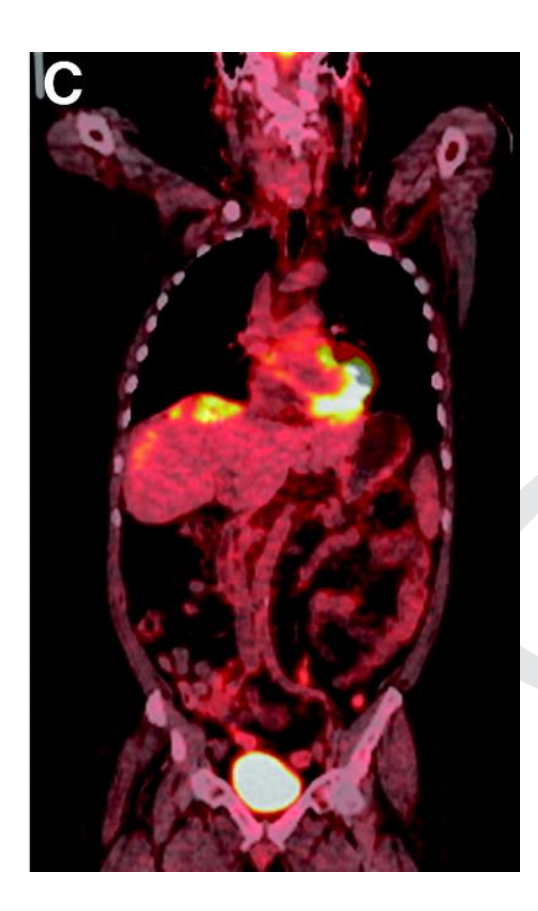
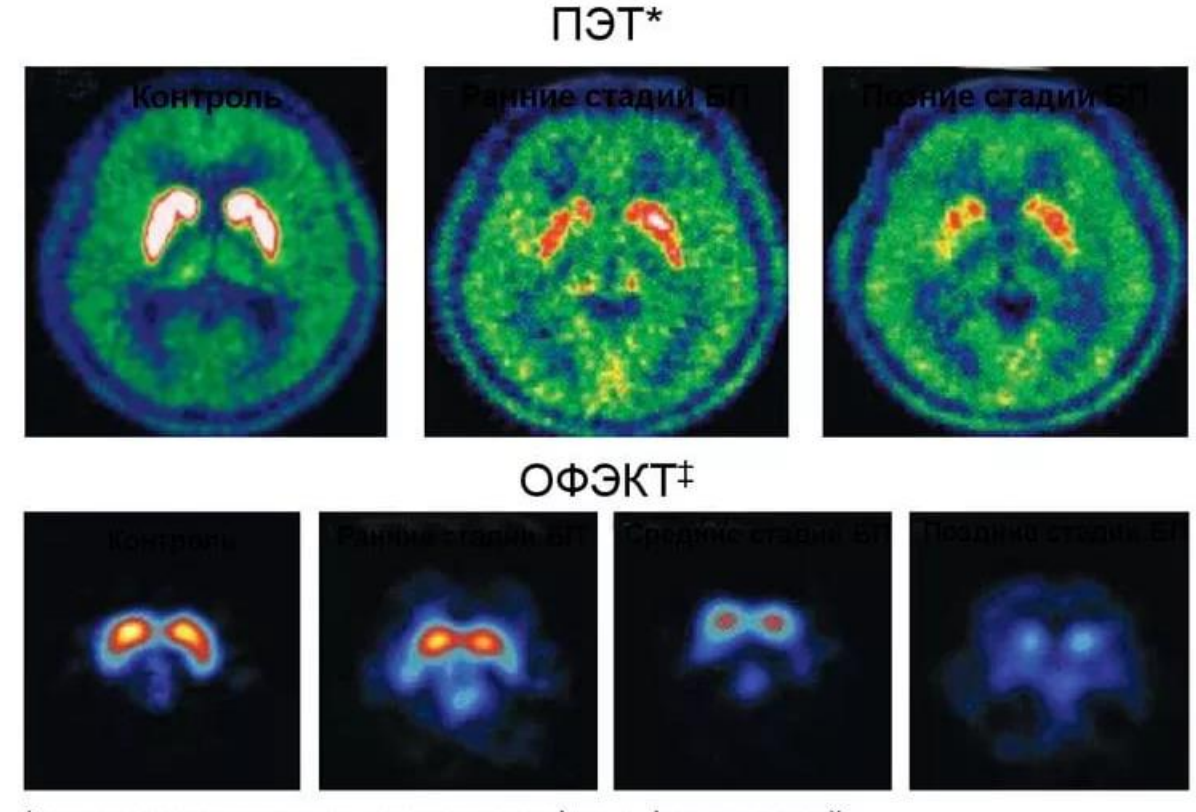


Рис. З. А. КТ-изображение. В. ПЭТ-изображение. С. КТ/ПЭТ-изображение.

Сравнение ПЭТ и ОФЭКТ





^{*} позитронно-эмиссионная томография с флуородопой

Schapira AH, Olanow CW. JAMA 2004;291:358-64.

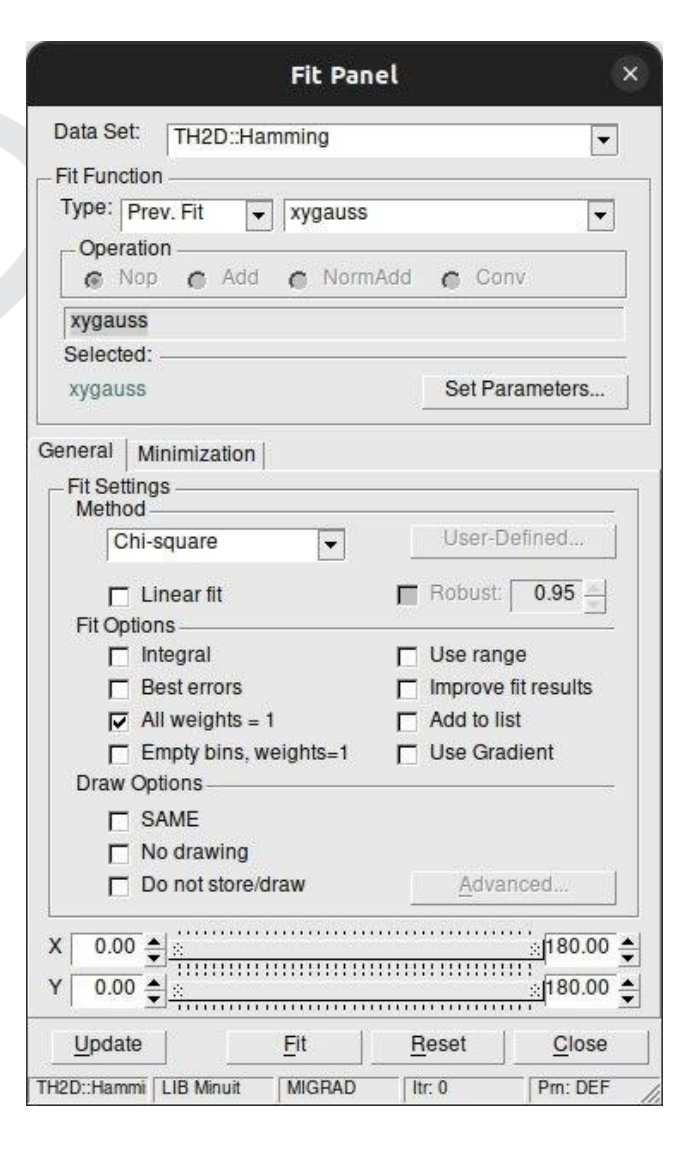
© 2004 American Medical Association. All rights reserved.

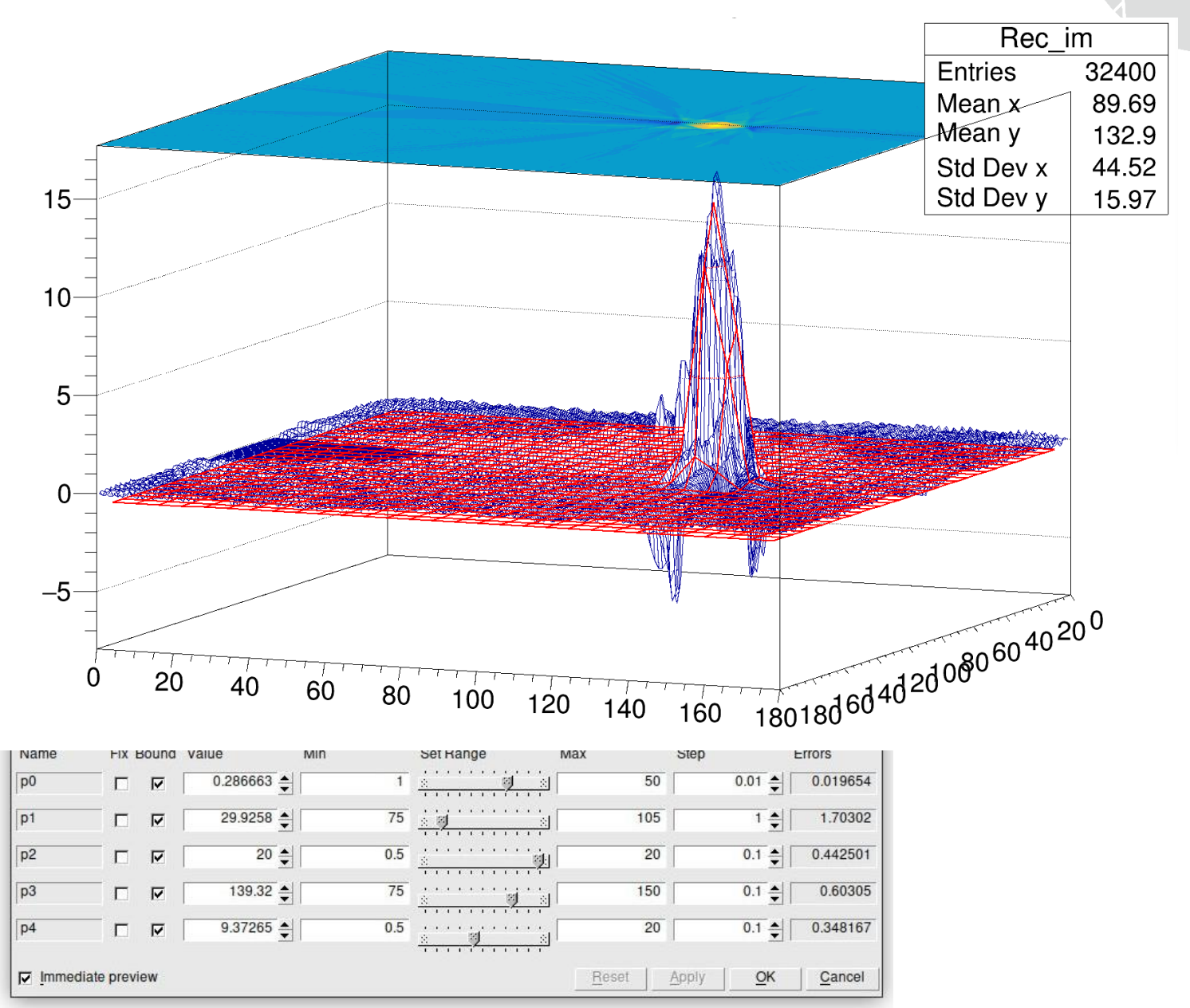
Рис. 4. Нейровизуализация при болезни Паркинсона

[‡] однофотонная эмиссионная компьютерная томография с 2β-карбометокси-3β-(4-йодофенил)тропаном

Сравнение результатов фитирования







Сравнение результатов фитирования



фильтр	Ram-Lak	Shepp-Logan	Cosine	Hamming	Hann	Ram-Lak	Shepp-Logan	Cosine	Hamming	Hann	Ram-Lak	Shepp-Logan	Cosine	Hamming	Hann
σ_x	5,3	5,3	5,4	5,4	5,4	5,3	5,3	5,3	5,4	5,4	4,6	4,6	4,6	4,7	4,7
σ_y	3,4	3,4	3,5	3,5	3,5	3,4	3,5	3,5	3,5	3,5	3,8	3,8	3,8	3,8	3,8
χ^2/ndf	0,49	0,43	0,34	0,29		0,47		0,32		0,26	0,19	0,17	0,15	0,14	

